

МИНИСТЕРСТВО ГЕОЛОГИИ СССР  
МИНИСТЕРСТВО ГЕОЛОГИИ РСФСР  
ДАЛЬНЕВОСТОЧНОЕ ПРОИЗВОДСТВЕННОЕ ГЕОЛОГИЧЕСКОЕ ОБЪЕДИНЕНИЕ

Уч. № 062

ГОСУДАРСТВЕННАЯ  
ГЕОЛОГИЧЕСКАЯ  
КАРТА СССР

МАСШТАБА 1:200 000

СЕРИЯ СТАНОВАЯ

Лист №-52-XVII (р.Нел)

Объяснительная записка

Составители: В.А.Барвенко, Б.Л.Годзевич  
Редактор В.В.Соловьев

Утверждено Научно-редакционным советом Мингeo СССР  
при ВСЕГЕИ 17 декабря 1981 г., протокол № 33

## О ГЛАВЛЕНИЕ

	Стр.
Введение . . . . .	5
Геологическая изученность . . . . .	7
Стратиграфия . . . . .	12
Интузионные образования . . . . .	43
Тектоника . . . . .	53
Геоморфология . . . . .	64
Полезные ископаемые . . . . .	67
Подземные воды . . . . .	73
Оценка перспектив района . . . . .	77
Литература . . . . .	82
Приложение . . . . .	84

## ВВЕДЕНИЕ

Территория листа №52-ХII (54°00'-54°40' с.ш. и 130°00'-131°00' в.д.) входит в Зейский район Амурской области и частично в Тугуро-Чумиканский район Хабаровского края. Около 60% ее расположено в восточной части Верхне-Зеинской равнины, которая, сужаясь к юго-востоку, переходит в Уссури межгорную котловину. Северо-восточная часть площади относится к отрогам хр.Джагды, а крайняя юго-западная — к хр.Джагды.

Равнинная местность имеет плоский, местами слабо всхолмленный рельеф с абсолютными отметками 400-580 м. Два наиболее крупных отрога хр.Джагды, ограничивающих бассейн р.Арги, возвышаются до отметок 835-1205 м. Их приводораздельные части имеют крутосклонный рельеф с относительными превышениями 300-600 м. Ближе к равнине они сменяются холмисто-увалистым низкогорьем. Хребет Джагды резко вздымается над равниной до высот 1000-1370 м и интенсивно расщеплен узкими глубоко врезанными долинами.

Гидросеть относится к бассейнам рек Зея и Уда. Река Зея пересекает северо-западную часть площади. Она имеет корытообразную долину с террасами и береговыми обрывами высотой до 20 м. Ширина реки 100-250 м. Она изобилует протоками и перекатами, чередующимися с пlessами. Соответственно глубина ее в среднюю воду меняется от 0,5 до 3 м, а скорость течения от 3 до 1 м/с. Слева р.Зея принимает р.Арги, которая пересекает территорию в широтном направлении. На равнине эта река сильно меандрирует и имеет широкую пологую долину, которая постепенно сужается в горной местности. Река Арги собирает множество мелких притоков (Курнал, Торбуки, Колбачи и др.). В нижнем и среднем течении, где ширина русла достигает 70-100 м, р.Арги, как и р.Зея, пригодна для передвижения на моторных лодках. Река Уда представлена верховьями, образованными системой речек Таксан, Аньянджа и Анатыджак. Русло ее шириной до 50 м врезано в неглубокую узкую долину. Водораздел рек Уда и Зеи на равнине снивелирован и

представлен пологой грядой с относительным превышением 20-40 м.

Около 3% площади занимают озера стариичного и термокарстового происхождения. Они развиты на равнине в виде цепочек вдоль широких плоских долин и водоразделов. Площадь отдельных озер до 0,5 км<sup>2</sup>.

Климат района континентальный, подверженный зимой влиянию Сибирского антициклона, а летом - Восточно-Азиатского муссона.

По данным метеостанций Бомнак и Ложшак (1962-1975 гг.), среднегодовая температура воздуха - 4,9°C. Абсолютный минимум температур (-52,3°C) приходится на январь, а максимум (+35,2°C) - на июль. Средние температуры в эти месяцы соответственно составляют -31° и +15°C. Вегетационный период длится 100-120 дней на равнине и около 80 дней в горной местности. Реки покрыты льдом с конца октября до середины мая. Толщина речного льда в феврале достигает 1-1,5 м. Годовое количество осадков колеблется от 420 до 800 мм. Из них 90-95% выпадает летом, главным образом в июле - августе. Снеговой покров сохраняется 180-190 дней, обычно с середины октября до середины апреля. Средняя глубина его около 40 см. Грунты скованы многолетней мерзлотой, мощность которой в рыхлых отложениях на равнине достигает 252 м. Глубина деятельного слоя составляет 0,4-3 м. Талики преимущественно подрусловые, занимают не более 10-15% площади. Водоупорным действием мерзлоты обусловлена широкая заболоченность плоских водо-разделов и долин.

Лесные массивы сосредоточены в горной местности. Они в основном представлены лиственничниками с примесью бересеки, осины, ольхи, ели. Водоразделы высотой более 800 м покрыты кедровым стланником. На низких сухих грядах встречается сосняки. На равнине распространены моховые и кочковые болота - мары с редкостью лиственница и кустарниками бересеки, багульника, голубики. К таликовым зонам в долинах приурочены островные заросли тополя.

Обнаженность территории неравномерная. Скальные выходы пород имеются по берегам рек Зеи, Арги, Уды, вдоль их глубоко врезанных притоков и на гребневидных водоразделах. Склоны гор и их плоские вершины покрыты элювиально-делювиальным чехлом мощностью 1-3 м. Залесенность и заболоченность обуславливают трудную проходимость местности. Перевозка грузов по ней возможна гусеничным и вьючным (оленным) транспортом.

Площадь листа экономически не освоена. Ближайший населенный пункт, пос.Бомнак, расположен в 76 км к западу от нее, на берегу р.Зеи. Его жители используют данную местность под паст-

бища для оленей и как промыслово-охотничьи угодья. В 70 км за-паднее проходит трасса БАМ со странцами Имак и Зейск. Сооружение ее резко повышает возможность освоения природных ресурсов территории.

Район сложен разновозрастными метаморфическими, осадочными и математическими формациями, относящимися к Становой и Монголо-Охотской складчатым областям и разделенной их системе Верхне-Зейской и Удской впадин.

## ГЕОЛОГИЧЕСКАЯ ИЗУЧЕННОСТЬ

Рассматриваемая территория привлекла геологов с начала текущего столетия в связи с открытием в бассейнах верхнего течения рек Зеи и Уды золотоносных россыпей. В 1906 г., по данным Э.Э.Анерта, М.М.Иванова, П.Б.Рипласа, А.И.Хлапонина и П.К.Яворского, была составлена первая геологическая карта Верхне-Зейского района. В 1911 г. К.В.Троховский установил золотоносность алтавия руч.Анамыджак (правого притока р.Уды). Поиски золота в отложениях восточной части Верхне-Зейской впадины в дальнейшем проводили В.И.Сертуков (1930-1931 гг.), В.В.Фролов (1941-1942 гг.), Г.Е.Грищенко (1950-1951 гг.). Они выявили золото в бассейнах верховьев рек Уды (ручни Салимис и Анамыджак) и Арги. Однако эти в основном рекогносцировочные работы не привели к открытию месторождений.

Вопросами стратиграфии и геоморфологии Верхне-Зейской впадины в 30-е годы занимались А.А.Усова (1931 г.), Г.Е.Быков (1935 г.), В.К.Флеров (1938 г.), С.Л.Кутев (1939 г.). Г.Е.Быков /3/ по палеонтологическим данным впервые установил в ней отложение миоценена и выделил их в соктохансскую свиту. Он также обосновал перспективы угленосности впадины. В 40-50-е годы изучение впадины продолжили К.Ф.Прудников (1950 г.), А.И.Юдин (1950 г.), Н.Ф.Левыкин (1945-1951 гг.), Ю.Ф.Чемеков (1957 г.), И.И.Сей (1956-1957 гг.). Н.Ф.Левыкин /25/ выделил в ее разрезе нижнемеловые, нижнелововые - палеогеновые, палеогеновые и неоген-нижечетвертичные отложения. Последние, по его мнению, наиболее перспективны для локализации золотоносных россыпей. Ю.Ф.Чемеков произвел исследование четвертичных отложений и геоморфологии района. И.И.Сей выполнила геолого-геоморфологическую съемку масштаба 1:1 000 000. Она пришла к выводу о неоген-нижечетвертичном возрасте соктоханской свиты и расчленила ее на три подсвиты. Несколько позднее /19/ верхнюю песчано-галечниковую часть

этих отложений она предложила выделить в самостоятельный аргин-скую синт.

В 1952–1955 гг. северо-восточную часть кристаллического обрамления впадины в масштабе 1:1 000 000 захватировал В.Н.Мощкин. Он выделил здесь лутинскую и удыбинскую серии нижнего прерозоя и комплекс раннепротерозойских и мезозойских интрузий. В 1955 г. аналогичную съемку провели на хр.Джагды В.Ф.Зубков и Д.А.Кириков. Метаморфические сланцы, развитые в северной части хребта, они условно отнесли к протерозору. Результаты указанных съемок использованы при составлении Государственной геологической карты СССР масштаба 1:1 000 000, лист №-52, под редакцией Л.И.Красного /12/. Обобщающие работы Ю.К.Целановского, Л.И.Красного /13/, В.Н.Мощкина /15/, М.С.Нагибиной /16/ на этом этапе исследований заложили основу для развития современных представлений о геологии и тектонике востока Становой и Монголо-Охотской складчатых областей.

В 60-х годах началось среднемасштабное изучение смежных с севера, востока и юга площадей. Геологические съемки масштаба 1:200 000 на площасти листа №-52-ХI провели В.А.Дыренко и Л.П.Карсаков (1961–1964 гг.), листа №-52-ХIII – А.А.Майборода и В.В.Ольков (1963–1966 гг.), листа №-52-ХVII – В.Ф.Сигов и В.А.Буничский (1966–1968 гг.). Обрамляющие впадину образования станового комплекса, прогрессивно метаморфизованные в амфиболитовой фации, были отнесены к нижнему прерозору и расщеплены на ряд синт. Первоначально они сопоставлялись с иликанской серией /8/, а затем были объединены в кутуринскую серию /9/. В.Ф.Сигов выделил также комплекс архейских пород, метаморфизованных в гранулитовой фации, слагающих западную часть Чогарского выступа. Среди указанных кристаллических образований установлено широкое развитие мезозойских магматических формаций, датированных в рамках поздней яры – мела. В метаморфизованных вулканогенно-осадочных породах хр.Джагды В.В.Ольковым /17/ были найдены остатки нижнепермской фауны, что явилось одним из оснований для отнесения складчатого комплекса на площасти листа №-52-ХIII к палеозому.

Последующие геологические работы на сопредельных территориях внесли корректировки в представления о возрасте ряда геологических образований. Для современного понимания структуры и возраста Становой складчатой области важную роль сыграли исследования Н.Г.Судникова, В.А.Глебовидского, А.Н.Неелова, Г.М.Друтовой, М.Д.Крыловой /21/. Геологически и геохронологически они доказали развитие в пределах области трех суперкру-

тальных комплексов: раннеархейского (станового) и позднеархейского (станового) и раннепротерозойского (тукурингрского). Эта точка зрения получила подтверждение при последующих съемочных и тематических работах А.Ф.Баськина, Б.Л.Годзевича, Л.П.Каракова, Ю.С.Лаховкина, Ю.В.Кошкива и др. и нашла отражение в ряде публикаций /7, 9, 10/. Вместе с тем, часть исследователей пришла к отрицанию возрастной и стратиграфической самостоятельности станового комплекса и считает его продуктом глубокого диагенеза и гранитизации архейских гранулитовых образований /6/.

В Западно-Джадинской зоне А.В.Макинином, М.Т.Турином и Г.Л.Кириловой /11/ в формациях, ранее условно относившихся к прерозору или палеозору, были найдены остатки фауны верхнего триаса и нижней яры (нелская и курнальская синты). В других разрезах этой зоны В.А.Барвенко /24/ и Ю.С.Лаховкин обнаружили пласти с верхнепротерозойскими микроФитолитами. Это расширило возрастной диапазон складчатых толщ хр.Джагды от верхнего прерозор до яры.

В 1969–1977 гг. В.А.Барвенко произвел геологическую съемку масштаба 1:200 000 западной и центральной частей Верхне-Зейской впадины (листы №-52-ХV, ХХI). Применение в комплексе с ней грубокого (до 500 м) колонкового бурения позволило впервые изучить глубинное строение впадины. По палинологическим и флористическим данным, в разрезе последней выделены нижнечемеловые, верхнечемеловые, палеогеновые, миоценовые, плиоцен-нижнечетвертичные и четвертичные отложения. Этими материалами В.А.Барвенко /1/ обосновал новую схему стратиграфии кайнозоя Верхне-Зейской впадины. В результате указанных работ были открыты залежи бурового угля и различных строительных материалов.

Изменения представлений о возрасте геологических формаций учтены при разработке новых региональных схем стратиграфии и магматизма, утвержденных на Ш Дальневосточном межведомственном стратиграфическом совещании в 1978 г. и на Ш Дальневосточном петрографическом совещании в 1981 г. Эти схемы приняты за основу при составлении геологической карты листа №-52-ХУП.

В 1974 г. Л.А.Щаровым и др. /26/ на восточную часть площасти листа была составлена аэрофотогеологическая карта. Работы по дешифрованию сопровождались заверками на трех ключевых участках. Авторам удалось уловить отдельно отшлифовать контуры рыхких отложений и часть разрывных нарушений.

С 1956 г. началосьплощадное геофизическое изучение территории. В 1956–1959 гг. Ю.Н.Казаков и Ю.И.Золотарев произвели

аэромагнитную съемку масштаба 1:200 000. В результате ее /18/ установлено относительно спокойное знакопеременное поле с отдельными повышенными градиентами вдоль крупных разломов и локальными аномалиями (800–2500 Г), связанными с телами основных иультраосновных пород, а также неясной природы (рис. I). В итоге аэrorадиометрической съемки масштаба 1:25 000, проведенной в 1961 г. на северо-востоке площади листа Г.О.Гукасяном, обнаружены 4 породные аномалии. В 1961–1965 гг. Э.Л.Рейнлиб, В.Н.Землянов и Л.П.Дурнайкин покрыли территорию гравиметрической съемкой масштаба 1:200 000. Полученные ими материалы отразили дифференцированное строение Верхне-Зейской впадины и ее обрамления /14/.

В основу геологической карты и карты полезных ископаемых площади листа №-52-ХУТ положены результаты геологической съемки масштаба 1:200 000, проведенной в 1975–1976 гг. Зейской партией Амурской КГРЭ Дальневосточного территориального геологического управления<sup>Х</sup>. Работами руководили в 1975 г. И.П.Комаров, а в 1976 г. – В.А.Бариненко. В съемке также участвовали геологи К.Д.Вахтомин, О.П.Макструх, Т.Н.Савинич, В.П.Чернов, И.О.Усов и гидрогеологи С.В.Балтачев и Н.П.Уфимцев. При составлении геологической карты и карты полезных ископаемых использовались аэрофотоснимки масштаба 1:28 000, фотосхемы масштаба 1:28 000 и 1:43 000, указанные выше геофизические материалы и геологические данные предыдущих исследований. Для изучения разрезов рыхлых отложений применялось колонковое бурение (3 скважины глубиной 196–300 м) и 1273 м мелкого (до 20 м) картировочного бурения по профилям. Геологическую карту составили В.А.Бариненко и Б.Л.Годзевич. В окончательной ее редакции учтены результаты дешифрирования космических (масштаба 1:1 000 000) и высотных (масштаба 1:200 000) фотоснимков.

Геологическая дешифрируемость территории неравномерная. На космических и высотных снимках выявлена основная система разломов. На высотных снимках также оконтурены границы рыхлых отложений и их главных фациальных разновидностей. На крупномасштабных снимках отдешифрированы границы между различными по составу рыхлыми отложениями, мелкие разрывы, а также ряд линеаментов, отражающих простирание даек, слоистости и плюснечности осадочных и метаморфических пород.

<sup>Х</sup>/С 1980 г. ПГО "Дальнегеология".

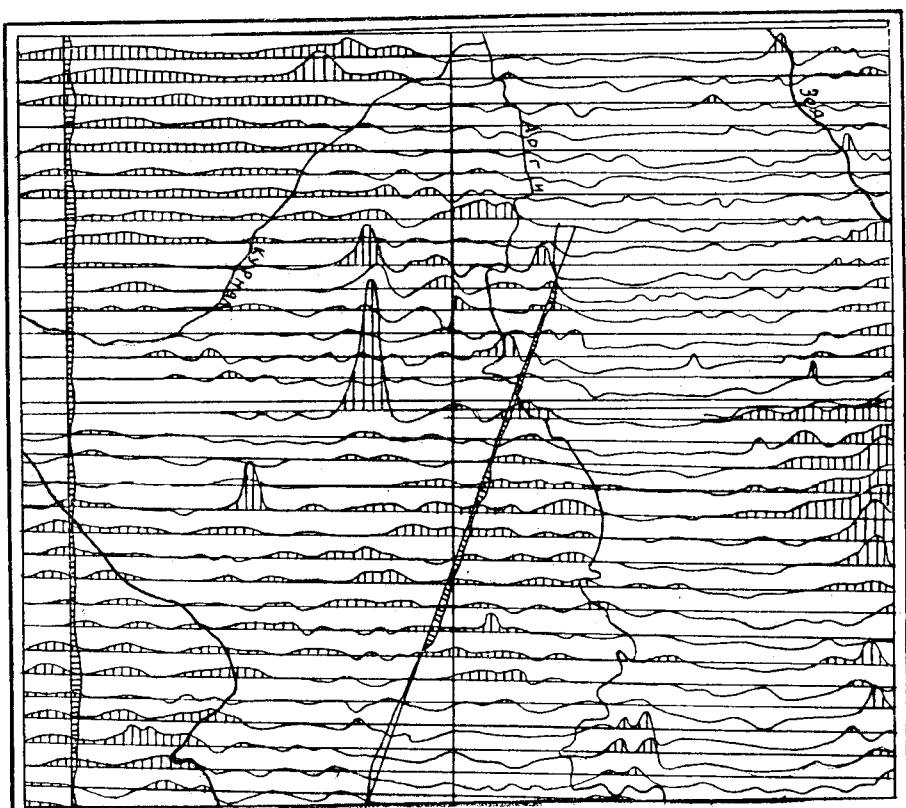


Рис. I. Карта аэромагнитного поля (ΔTa)  
(По материалам Е.Н.Казакова, 1955; И.М.Папочки и  
В.И.Золотарева, 1959)

Главы "Введение", "Геологическая изученность" и "Стратиграфия" написаны В.А.Барченко и Б.Л.Годзевичем, остальные главы – Б.Л.Годзевичем. Большая часть лабораторных работ выполнена в Центральной лаборатории ПГО "Дальгеология", в том числе: палинологические анализы – Л.И.Лукашовой, А.Р.Боковой, Р.С.Зыковой, В.П.Шаровой, П.И.Битюккой; химические анализы – А.Д.Эльгостовой, М.А.Шульгой, Л.Г.Шекуновой, А.Г.Павлюченко, Е.А.Малыгиной; определения возраста пород калий-аргоновым методом – В.Н.Казаченко. Спектральные анализы сделаны в лаборатории Зейской ГСП (зав. лабораторией А.Г.Кирея). Определение микрофитолитов и их возраста произвел А.Г.Поступов (СО АН СССР).

Геологическая карта листа №-52-ХШ по территории г. Саратова и его окрестностей, изданная в 1960 г., не увязана с изданными и подготовленными к изданию картами смежных листов. Имеющиеся неувязки в основном связаны с новой трактовкой возраста, обоснованной в каждом случае радиологическими, биостратиграфическими и геологическими данными. Единичные расхождения в положении геологических границ и разрывных нарушений на стыках с листами №-52-ХI и №-52-ХХIII связаны с получением нового фактического материала. Сведения о полезных ископаемых территории даны по состоянию на 1 января 1981 г.

СТРАТИГРАФИЯ

Стратифицированные образования занимают около 80% площади листа. Они представлены слоисто-кристаллическими породами архея, метаморфизованными отложениями верхнего протерозоя, верхнего триаса и нижней юры; осадочной и вулканогенной формацией нижнего мела и рыхлыми отложениями неогеновой и четвертичной систем.

Архейские города, метаморфизованные и ультратрансформированные преимущественно в условиях амфиболитовой фации, слагают северо-восточную половину территории листа. Они относятся к нижнему и верхнему архею.

APPENDIX

Нерасчлененные образования нижнего архея ( $АР_1$ ) слагают небольшой (около 30 км<sup>2</sup>) выход вдоль р.Уды, относящийся к юго-западной части Чагарского выступа /9/. Ввиду положения этих

пород в зоне крупного разлома, ограничивающего указанный вы- туп, они интенсивно рассланцовываны и дифторированы. В коренных обнажениях по р. Уде установлен следующий их разрез (снизу вверх):
1. Гнейсы биотитовые, рассланцованные до гластомилонитов, с прослойками амфиболитов. . . . . 170 м
2. Гнейсы биотит-амфиболовые, гластомилонит- изированные. . . . . 90 "
3. Амфиболиты и амфиболовые кристаллические сланцы. . . . . 60 "
4. Гнейсы биотитовые и амфиболовые рассланцо- ванные. . . . . 490 "
5. Гнейсы биотит-амфиболовые и двуслюдяные, рассланцованные местами до гластомилонитов. . . . . 150 "
6. Амфиболиты, кристаллические сланцы и гнейсы биотит-амфиболовые и амфиболовые, рассланцованные . . . . . 260 "
Наименее толщи в разрезе около 1220 м. Судя по частому проявлению гластомилонитизации, породы здесь чередуются в виде текtonических кинильев. В строении блока доминируют существенно амфиболовые кристаллические сланцы и амфиболиты, которым под- чинены биотитовые и двуслюдяные рассланцованные гнейсы. Общая их мощность не менее 1500 м. Для пород характерна сланцеватая и линзовидно-очковая текстура. Они имеют грубую полосчатость. Наименее рассланцованные амфиболиты и кристаллические сланцы имеют апогранобластовую структуру с элементами глимеро- блестящей и кумулобластовой структур. Они содержат 40-60% ами- болов, 30-50% раскисленного пянисто-зонального плагиоклаза, агрегаты мелкозернистого эпидота и мелкозернистого зеленого биотита и акцессорные апатит и титаномагнетит с каймами лейко- ксена. Зерна амфиболов пянисто окрашены и представлены несколь- кими генерациями. К ранней - относится реликтовая зеленовато- коричневая роговая обманка с включениями магнетитовой пыли. Следующая генерация бледно-зеленая, иногда с реликтами клино- пироксена. Она замещается более поздней шестоватой сине-зеле- ной роговой обманкой. Рассланцованные породы имеют гетероблас- товую до гластомилонитовой структуру.
В биотитовых и двуслюдистых гнейсах биотит и мусковит (до 10-15%) образуют вторичные мелкочешуйчатые гломеробласты, час- то в ассоциации с эпидотом - клиноцизитом. Им свойственна оч- ковая текстура за счет порфирокластов и порфиробластов микро- клина и олигоклаза.
Гластомилониты - тонкорассланцованные породы, близки по составу к рассмотренным гнейсам, кристаллическим сланцам и ам-

фиболитам, но состоящие в основном из поздних диафторических минералов: альбит-олигоклаза, зеленого биотита, эпидота, итоль-чатого амфиболя, хлорита.

Диафторез в нижнеархейских городах проявился двукратно — первоначально в условиях амфиболитовой фации, а затем в условиях эпидот-амфиболитовой до зеленосланцевой фации. Высокотемпературные реликтовые коричневая роговая обманка и клининориксен-тилломорфы для гранулитовой фации метаморфизма, хотя и не являются в ней критическими минералами. Восточнее, в Чагарском выступе, и несколько северо-западнее, в Сивакано-Токском выступе, среди сходных по составу диафторитов известны остатки дву-пироксеновых и гранат-пироксеновых кристаллических сланцев с калько-аргоновым возрастом до 3 млн. лет /10/. На севере Станичной области (край Зверева) определенный тем же методом возраст амфибол-дву-пироксеновых сланцев достигает 4520 млн. лет /4/. Эти данные служат основанием для отнесения гранулитовых образований области и, соответственно диафторитов по ним к раннему архею.

Купринская серия

Кыргызская серия, выходящая в верхнеархейский стадион комплекс, слагает северо-западную часть территории. Она разделяна на четыре свиты: керудинскую, некримскую, тыжакскую и гамиканскую.

**Н е р у н д и н с к а я с в и та**, как и на площа-  
диста №52-ХVIII /20/, расселена на две подсвity.

*Нижненерундинская полоса* (AB<sub>2</sub>-1) представляет собой нижнюю часть юрского разреза кулуаринской серии и прослеживается вдоль тектонической грани с археем Чогарского выступа. В ее составе преобладают тонкотолстостенные биотитовые и двуслюдянные гнейсы, часто с гранатом, графитом, реже с диистеком, в переслаивании с роговообманковыми, биотит-роговообманковыми, роговообманково-биотитовыми, иногда гранатодержащими гнейсами и линзами амфиболитов и кварцитов. Наиболее полный ее разрез составлен по линии канав вдоль водораздела ручьев Тук-Макит и Таксан. Начиная от тектонической грани с нижним археем, в нем установлены следующие пачки (снизу вверх):

Общая мощность разреза 3260 м<sup>3</sup>

Гнейзы нижненерундской подсвиты, изученные по линии канав на правобережье руч. Саливис и в верховых руч. Тук-Макит, сходны с описанным. Но в первом из них в средней части установлены отдельные пласти (до 2-5 м) роговообманиково-биотитовых и двуслюдистых кварцитов, а во втором — в верхней пачке подсвиты вскрыт пласт (около 25 м) графит-гранат-диабаз-биотитовых гнейсов. В низах разреза попадают в ряде маршуров встреченены диопсид-роговообманиковые кристаллические сланцы. Биотитовые и двуслойные гнейсы с гранатом и графитом составляют 70-80% объема подсвиты. Общая мощность ее не менее 3300 м.

Верхнерудинская подсвита (AB<sub>2</sub>n<sub>2</sub>) распространена в бесстепенных ручьях Тук-Макит и Комачи. В ее составе преобладают биотит-рогообманковые и рогообманково-биотитовые гнейсы, часто гранатодержащие. По линии канав на право-берегье руч. Тук-Макит установлен согласный контакт между подсвитами. На биотитовых гнейсах нижнерудинской подсвите залегают (снизу вверх):

2.	Гнейсы гранат-биотитовые с прослоями и линзами биотитовых, двухслойных гнейсов, биотит-ротовообманковых кристаллических сланцев и амфиболитов.	• • • • •	625 м
3.	Кристаллические сланцы биотит-ротовообманковые.	• • • • •	100 "
4.	Гнейсы графит-гранат-двуслоистые.	• • • • •	60 "
5.	Кристаллические сланцы биотит-ротовообманско-вьетнамские.	• • • • •	65 "
6.	Гнейсы гранат-биотитовые.	• • • • •	75 "
7.	Гнейсы ротовообманково-биотитовые, гранат-биотитовые, иногда графитсодержащие с подчиненными пластами амфиболитов и биотит-ротовообманковых гнейсов.	• • • • •	825 "
8.	Гнейсы биотитовые, графит-биотитовые, ротовообманско-биотитовые графитсодержащие.	• • • • •	365 "
9.	Амфиболиты, гнейсы и кристаллические сланцы биотит-ротовообманковые и гранат-биотитовые.	• • • • •	375 "
10.	Гнейсы биотитовые, графит-биотитовые, двуслоистные, ротовообманково-биотитовые, иногда гранатсодержащие.	• • • • •	620 "
	Общая мощность разреза 3260 м.		
	Разрезы нижнерундинской подсвиты, изученные по линиям канав на правобережье руч. Саливис и в верховых руч. Тук-Макит, сходны с описанным. Но в первом из них в средней части установлены отдельные пласти (до 2-5 м) ротовообманково-биотитовых и двухслойных кварцитов, а во втором – в верхней пачке подсвиты вскрыт пласт (около 25 м) графит-гранат-дистен-биотитовых гнейсов. В нихах разреза подсвиты в ряде маршрутов встречены диопсид-ротовообманковые кристаллические сланцы. Биотитовые и двуслоистные гнейсы с гранатом и графитом составляют 70-80% объема подсвиты. Общая мощность ее не менее 3300 м.		
	Верхнерундинская подсвита ( $Ar_{n+2}$ ) распространена в бассейнах ручьев Тук-Макит и Колбач. В ее составе преобладают биотит-ротовообманковые и ротовообманково-биотитовые гнейсы, часто гранатсодержащие. По линии канав на правобережье руч. Тук-Макит установлен согласный контакт между подсвитами. На биотитовых гнейсах нижнерундинской подсвиты залегают (снизу вверх):		
1.	Гнейсы биотит-ротовообманковые.	• • • • •	75 м
2.	Амфиболиты.	• • • • •	80 "

3. Гнейсы роговообманково-биотитовые и биотит-		125 м
роговообмансковые . . . . .		
4. Кристаллические сланцы биотит-рогообман-		
ковые . . . . .		75 "
5. Пачка чередования амфиболитов, гнейсов и		
кристаллических сланцев биотит-рогообманско-		
вых и рогообманско-биотитовых . . . . .		300 "
6. Кристаллические сланцы и гнейсы биотит-		
рогообмансковые . . . . .		650 "
7. Гнейсы рогообманско-биотитовые . . . . .		125 "
Выше по разрезу вскрыты гнейсовидные граниты. Мощность под-		
свиты 1430 м.		
В бассейне руч. Колбачи верхняя часть подсвиты, излученная по		
линии канав, имеет следующий разрез отложений (снизу вверх):		
1. Гнейсы биотит-рогообмансковые . . . . .		125 м
2. Амфиболиты . . . . .		50 "
3. Кристаллические сланцы биотит-рогообман-		
ковые . . . . .		75 "
4. Гнейсы биотит-рогообмансковые . . . . .		500 "
5. Гнейсы рогообманско-биотитовые и биотит-		
рогообмансковые . . . . .		510 "
6. Кристаллические сланцы гранат-биотит-рого-		
вообмансковые . . . . .		50 "
7. Гнейсы рогообманско-биотитовые и биотит-		
рогообмансковые . . . . .		240 "
Мощность разреза 1550 м.		

Общей особенностью подсвиты является ее монотонный существенно гнейсовый состав. Гранатодержащие гнейсы, судя по наблюдениям, в других частных разрезах и маршрутах, чаще встречаются в низах и верхах подсвиты. Содержание граната не выдержано по простирации пластов. Мощность подсвиты, определенная графически, с учетом данных по сопредельной с востока площади /20/, составляет 2900-3000 м.

Н е к р и г с к а я с в и т а ( $AB_2^{m/f}$ ) сохранилась фрагментарно, в основном в виде ксенолитов поперечником до 1,5 км среди массива позднеархейских гранодиоритов и диоритов. Согласное залегание ее на верхненерудничской подсвите установлено на правобережье руч. Колбачи. Граница свит проведена по смене гнейсов с роговой обманской и гранатом более основными рогообмансковыми, биотит-рогообмансковыми кристаллическими сланцами с прослоями существенно рогообмансковых гнейсов и амфиболитов, слагающимися низы некритской свиты. Видимая мощность

7. Гнейсы рогообманско-биотитовые . . . . .		300 "
8. Кристаллические сланцы гнейсовидные граниты. Мощность под-		
свиты 1430 м.		
9. Гнейсы биотит-рогообмансковые и рогооб-		
манково-биотитовые . . . . .		350 "
10. Гнейсы гранат-рогообманско-биотитовые . . . . .		50 "

пачки этих пород около 700 м. Аналогичные кристаллические сланцы выходят в виде ксенолита по р.Арги, ниже устья руч.Колбачи. В ксенолитах в бассейне руч.Болборук, отвечающих, по-видимому, более высокой части свиты, наряду с рогообмансковыми встречаются рогообманско-биотитовые и биотитовые гнейсы. Подобная же особенность строения свиты установлена на площади листа N-52-ХУШ В.Ф.Ситовым /20/, где полный ее разрез имеет мощность 2-2,2 тыс.м.

Т й ж а к с к а я с в и т а ( $AB_2^{f/z}$ ) выходит на поверхность в междууречье Кынляндзак - Торбуки. От нижележащей части купуринской серии она отделена позднеархейской интрузией. Эта свита имеет наиболее пестрый состав. В ней чередуются биотитовые и двуслюдянные гнейсы, часто с гранатом, графитом, дистеном и силлиманитом, с рогообмансковыми, биотит-рогообмансковыми, рогообманско-биотитовыми гнейсами и кристаллическими сланцами и лизами амфиболитов, кварцитов, кальцифиров.

На левобережье верхнего течения р.Гамикан по линии канав задокументирован следующий разрез отложений свиты (снизу вверх):

1. Гнейсы биотитовые, биотит-рогообмансковые, рогообманско-биотитовые . . . . . 125 м
2. Гнейсы гранат-биотитовые, иногда с графитом. . . . . 275 м
3. Гнейсы силлиманит-гранат-биотитовые, реже гранат-биотитовые, биотитовые и двуслюдянные, иногда с графитом. . . . . 255 "
4. Кристаллические сланцы биотит-рогообмансковые . . . . . 40 "
5. Кальцифры . . . . . 35 "
6. Гнейсы биотит-рогообмансковые и рогообмансково-биотитовые . . . . . 65 "
7. Гнейсы рогообманско-биотитовые и биотитовые . . . . . 50 "
8. Кристаллические сланцы рогообмансковые и биотит-рогообмансковые . . . . . 75 "
9. Гнейсы биотит-рогообмансковые и рогооб-

манково-биотитовые . . . . . 350 "

Область мощность разреза 1320 м.

Пачка, по кровле которой проводится верхняя граница свиты, по наблюдениям в делювии и редких коренных выходах представлена на переслаиванием биотитовых и двуслюдянных гнейсов, часто с гранатом, реже силлиманитом. В междууречье Бол.Торбуки - Гамикан в виде делювальных обломков в ней встречены графит-силлиманит-

**мусковитовые и магнетитовые кварциты.** Мощность этой пачки 100–150 м. Видимая мощность тыжакской свиты не менее 1500 м.

**Т а м и к а н с к а я с в и т а** ( $AB_{2g}^{2m}$ ) – неотсредствен-но налегает на тыжакскую свиту в междуречье Киниянчик – Гамикан.

Здесь, в ее нижней части мощностью около 1 км, наблюдается од-нообразное чередование роговообманково-биотитовых, биотит-ро-говообманковых, реже биотитовых, иногда гранатсодержащих гней-сов и кристаллических сланцев.

Условно с гамиканской свитой спаяна толща существен-но роговообманковых кристаллических сланцев и гнейсов, выходя-щая по берегам р. Зеи. От описанной части кутуринской серии она

отделена крупным долгоживущим разломом, и ее стратиграфическое положение не вполне ясно. На правобережье р. Зеи линией канав вскрыт следующий разрез толщи (снизу вверх):

1. Гнейсы и кристаллические сланцы биотит-роговообманковые, реже роговообманково-биотито-вые . . . . .	660 м
2. Гнейсы биотитовые . . . . .	40"
3. Кристаллические сланцы, реже гнейсы роговообманковые и биотит-роговообманковые с пласти-ми амфиболитов . . . . .	175"
4. Кристаллические сланцы роговообманковые . . . . .	160"
5. Кристаллические сланцы биотит-роговооб-манковые . . . . .	65"
6. Гнейсы роговообманковые . . . . .	100"
7. Гнейсы роговообманковые, роговооб-манитовые, амфиболиты . . . . .	140"

#### Мощность разреза 1340 м.

Северо-западнее эта толща обрамляет с юга Сивакано-Токский выступ нижнего архея /9/, поэтому (учитывая ее меланократовый состав) не исключено, что она относится к более низкой части кутуринской серии.

По петрографическому и химическому составам породы серии объединяются в несколько групп, обладающих сходством главных породообразующих минералов, но различающихся по их относитель-ному количеству. Эти группы представлены: 1) амфиболитами и

существенно роговообманковыми кристаллическими сланцами основного – среднего составов; 2) серыми гнейсами умеренно кислого и кислого составов, с роговой обманкой и биотитом; 3) высоко-глиоземистыми биотитовыми и двуслюдными гнейсами с гранатом, дистеном и силиманитом; 4) кварцитами; 5) кальцифираторами.

**Существенно роговообманковые кристаллические сланцы и амфиболиты** – темно-серые до черных грубополосчатые гнейсовые породы, состоящие из зеленой, голубовато-зеленой роговой обманки (30–80%), андезина до андезин-лабрадора (18–50%), зелено-багрово-коричневого биотита (2–20%), кварца (до 10%), эпидота (1–30%). Спорадически в них встречаются гранат и светло-зеленый лиоптил-тепленбергит, равновесные с роговой обманкой, а также вто-ричные – хлорит, мелкощетинчатый зеленый биотит, светло-голубато-зеленый амфибол, серпентин, скаполит. Аксессор-ные минералы: магнетит, апатит, сфен, циркон. Структура пород гранобластовая, с элементами немато- и лепидобластовой.

В нижней части нижнерудничинской подсвиты (низовья ручьев Тук-Макит и Талачи) в некоторых шлифах основных кристаллических сланцев обнаружены реликты зеленовато-коричневой роговой обман-ки и бесцветного клинопироксена, характерные для диафторитов по породам нижнего архея. Это свидетельствует о вероятном наличии здесь, наряду с породами ставнового комплекса, мелких тектониче-ских кимней переработанного гранулитового субстрата, оконту-рить которые при геологической съемке не удалось.

Амфиболиты и кристаллические сланцы петрохимически близки к базальтам, альбазито-базальтам и андезитам нормального (извест-ково-целочного) и субшелочного рядов калько-натриевой серии /2/ (табл. I). В большинстве их повышена глиоземистость ( $al' > 1$ ) и железистость ( $if = 54,5\text{--}76,7$ ).

Серые роговообманковые, биотит-роговообманковые, роговооб-манково-биотитовые и биотитовые гнейсы мезанократовые до лейко-кратовых тонкоколосчатые породы. Они имеют гранобластовую струк-туру с элементами немато- и лепидобластовой и состоят из пла-тиклиза № 23–32 (40–60%), кварца (12–30%), микроклина (5–35%), роговой обманки (0–20%), биотита (1–15%), эпидота (1–7%), гра-ната (0–5%). Аксессорные минералы: апатит, магнетит, сфен, цир-кон, ионацит, орнит. Породообразующие и вторичные минералы в гнейсах такие же, как и в кристаллических сланцах. Но по соста-ву эти породы более лейкократовые (табл. 2). Они недонасыщены либо изредка слабо перенасыщены глиноzemом относительно суммы кальция и щелочей (в молекулярных количествах), поэтому в них постоянно встречается эпидот и отсутствует мусковит. По число-вым характеристикам А. А. Превловского, серые гнейсы отвечают ря-ду переходов от турфитов с основным и ультраосновным материалом к гравуракам. Наиболее лейкократовые их разновидности прибли-жаются к аркозам.

Таблица I  
Химический состав амфиболитов и кристаллических сланцев основного-среднего составов (вес.%)

Окислы	Образцы						
	к-I465	2283/3	к-7II	к-87	I079-в	5063-2	4I0I
I	2	3	4	5	6	7	8
SiO <sub>2</sub>	46,21	46,35	46,79	51,21	54,16	54,09	58,20
Al <sub>2</sub> O <sub>3</sub>	20,85	13,28	21,07	18,57	17,71	14,28	16,87
TiO <sub>2</sub>	0,82	4,0	1,53	1,15	0,81	0,92	0,91
Fe <sub>2</sub> O <sub>3</sub>	3,19	5,55	2,94	2,61	2,58	1,64	3,30
FeO	5,64	9,30	8,35	6,56	5,39	6,83	4,73
CaO	13,41	8,33	9,35	8,25	8,04	9,0	6,44
MgO	5,29	4,50	4,08	4,09	4,01	7,06	3,23
MnO	0,07	0,19	0,26	0,15	0,09	0,20	0,11
K <sub>2</sub> O	0,63	1,62	1,16	1,0	1,81	0,92	1,81
Na <sub>2</sub> O	2,01	4,17	3,24	4,62	3,67	2,93	3,53
CO <sub>2</sub>	0,15	0,12	0,20	0,24	0,10	0,22	0,03
P <sub>2</sub> O <sub>5</sub>	0,09	1,35	0,30	0,43	0,20	0,15	0,21
H <sub>2</sub> O	1,15	0,86	0,42	0,90	1,05	1,31	0,75
Σ	99,58	99,70	99,49	99,78	99,61	99,51	100,15

Продолжение табл. I

I	2	3	4	5	6	7	8
Na <sub>2</sub> O+K <sub>2</sub> O	2,64	5,79	4,4	5,62	5,48	3,85	5,34
Na <sub>2</sub> O/K <sub>2</sub> O	3,2	2,6	2,8	4,6	2,0	3,2	1,9
a <sub>1'</sub> = $\frac{Al_2O_3}{FeO+Fe_2O_3+MgO}$	1,48	0,69	1,37	1,4	1,48	0,91	1,49
f' = FeO+Fe <sub>2</sub> O <sub>3</sub> +MgO+MnO+TiO <sub>2</sub>	15,01	23,54	17,16	14,56	12,88	16,65	12,28
K <sub>ф</sub> = $\frac{FeO+Fe_2O_3 \cdot 100}{FeO+Fe_2O_3+MgO}$	62,5	76,7	73,5	69,2	66,5	54,5	71,2

П р и м е ч а н и е. Обр.к-I465 - амфиболит (AR<sub>2</sub>gm?), р.Зея; обр.2283/3 - диопсид-роговообманковый кр.сланец (AR<sub>2</sub>gm), р.Кинлянджа; обр.к-7II - гранат-биотит-роговообманковый кр.сланец (AR<sub>2</sub>nt<sub>2</sub>), басс.руч.Тук-Макит; обр.к-87 - биотит-роговообманковый кр.сланец (AR<sub>2</sub>nt<sub>2</sub>), руч.Колбачи (обр. I0798 - биотит-роговообманковый кр.сланец (AR<sub>2</sub>nt<sub>2</sub>), руч.Амундачи); обр.5063-2 - гранат-роговообманковый кр.сланец (AR<sub>2</sub>nt<sub>2</sub>), руч.Ванга; обр.4I0I - биотит-роговообманковый кр.сланец (AR<sub>2</sub>nk), руч.Налды-Лагинди

Гнейсы высокоглиноzemистого ряда – тонкоголосчные, обычно богатые слюдой породы с характерной ржавой окраской. Они состоят из олигоклаза № 25–30 (30–50%), кварца (20–40%), микроклина (0–20%), бурого в проходящем свете биотита (5–20%), мусковита (0–15%), гранита (0–5%), дистена (0–5%), силимандита (0–15%). Аксессории: апатит, рутил, циркон, монацит, магнетит, пирит. Структура лепидогранитовая, в силимандитоодержащих породах – также фабробластовая. В дистеносодержащих гнейсах микроклин, как правило, отсутствует. Но в единичных случаях установлено сочетание дистена, частично замещенного силлиманитом, с микроклином (Тынажская свита, басс.р. Торбуки).

По отношению к сумме кальция и щелочей данные породы перенасыщены глиноzemом (табл. 2). С повышением глиноzemистости в них возрастает калиевость. По характеристикам А.А. Предовского, высокоглиноzemистые гнейсы отвечают граниткам, силимандитодержащих разновидности смешены к полю глинистых осадков.

Кварцы представлены биотит-рогообманковыми, двуслюдянymi, гранит-силимандит-мусковитовыми и магнетитовыми разновидностями. Они состоят из 65–80% кварца с подчиненным количеством темноцветных минералов и плагиоклаза.

Кальцифры содержат 35–60% кальцита и доломита, 35–50% клинопироксена, частично или полностью замещенного актинолитом, и примесь плагиоклаза, клинодиопизита и сферена. В отдельных разновидностях встречен оливин (5–10%), замещенный серпентином.

В подавляющем большинстве пород Купуринской серии отсутствуют признаки диафторического происхождения главных породообразующих минералов. Последние образуют парагенетические ассоциации, тигроморфные для амфиболитовой фации в классическом ее понимании. Для пород нижнеархейской подсвиты в краевой юго-западной части блока верхнеархейских пород характерны парагенезисы дистена с олигоклазом, гранатом, биотитом и мусковитом, которые отвечают фации дистеновых сланцев метаморфизма высоких давлений, по Н.Л. Добрецову. На левобережье р. Торбуки в Тынажской свите зафиксирована устойчивость дистена в присутствии микроклина, что можно расценить как возрастание здесь степени метаморфизма до фации дистеновых гнейсов. Высокоглиноzemистые гнейсы и кварциты тынажской свиты во внутренней части верхнеархейского блока имеют типичный парагенезис: силимандит + биотит + мусковит + кварц ± олигоклаз и микроклин. Он отвечает высокотемпературной мусковит-силимандитовой ступени амфиболовой фации умеренных давлений.

Химический состав гнейсов (вес. %)

Оксиды	Образцы							
	к-687	4122	2522/4	105а	к-677	3336/1	к-370	2247/2
SiO <sub>2</sub>	60,84	60,10	59,78	56,94	66,04	66,23	66,97	67,01
Al <sub>2</sub> O <sub>3</sub>	14,88	17,83	17,0	18,76	14,28	14,32	16,87	17,27
TiO <sub>2</sub>	1,14	0,80	0,92	0,92	0,88	0,84	0,92	0,90
Fe <sub>2</sub> O <sub>3</sub>	0,92	1,65	2,94	1,65	0,68	0,31	1,39	1,69
FeO	5,98	3,68	4,17	4,75	5,10	7,89	4,20	2,33
CaO	4,52	5,21	3,47	6,18	2,42	1,57	1,10	0,76
MgO	4,52	2,92	2,73	2,59	3,52	2,95	0,87	1,51
MnO	0,12	0,09	0,06	0,09	0,06	0,11	0,05	0,01
K <sub>2</sub> O	2,64	2,00	2,30	1,77	3,10	2,44	3,19	3,61
Na <sub>2</sub> O	3,02	3,92	5,17	4,68	2,56	2,00	2,01	2,00
CO <sub>2</sub>	0,11	0,29	–	0,14	0,03	0,21	0,16	0,15
P <sub>2</sub> O <sub>5</sub>	0,21	0,21	0,32	0,37	0,17	0,03	0,02	0,03
H <sub>2</sub> O	0,59	0,29	0,86	0,98	0,76	1,37	2,33	2,12
Σ	99,49	99,99	99,72	99,77	99,60	100,27	99,58	99,39

Числовые характеристики по А.Н. Заварыкому

R	0,20	0,13	0,15	0,15	0,16	0,08	0,07
A	-9	+5	-2	-19	+24	+53	+82
K	-21	-42	-59	-57	-8	-6	+1

П р и м е ч а н и е. обр.к-678 – гранат-рогообманковый гнейс ( $AB_2^{n_1}$ ), басс.р.г. Тук-Макит; обр.4122 – биотит-рогообманковый гнейс ( $AB_2^{n_2}$ ), р.Арги; обр.2522-4 – рогообманково-биотитовый гнейс ( $AB_2^{n_3}$ ), р.Зея; обр.105а – серый биотитовый гнейс ( $AB_2^{n_4}$ ), басс.р. Болодякит; обр.к-677 – гранат-биотит-биотитовый гнейс ( $AB_2^{n_5}$ ), басс.р.г. Тук-Макит; обр.3336/1 – гранат-двуслойной гнейс, там же; обр.к-370, 2247/2 – гранат-силиманит-биотитовый гнейс ( $AB_2^{n_6}$ ), басс.р. Торбуки и руч. Бирянка.

С региональным прогрессивным метаморфизмом купуринской серией сопряжен ультраметаморфизм. Он обусловлен мигматизацию, порфробластическую фельдшпатизацию и микроклинизацию слоисто-кристаллических пород. Наиболее распространены послойный метатекст венитового типа, проникающий большинство метаморфических пород среднего и кислого составов. Реже встречаются артериговые инъекции, проникающие во все архейские породы и секущие их полосчатость. Метатекст мигматитов светло-серый, отвечающий мелко-зернистым лейкократовым биотитовым и двуслюдянным гранитам, плагиогранитам и пегматитам. Мощность его прокляков чаще всего 0,5-2 см. Количество их варьирует от 5-10% в основных породах до 70-80% в лейкократовых теневых мигматитах. В среднем оно составляет 20-30% объема слоистых толщ. Мигматизация усиlena в пластиах лейкократовых биотитовых, роговообманково-биотитовых гнейсов, в ядрах складок и в эзоконтактах тел анатектоидных гранитов. В интенсивно мигматизированных породах спорадически, в узких (обычно первые метры) зонах проявлен порфробластез олигоклаза и микроклина.

В породах купуринской серии вдоль зон рассланцевания шириной, измеряемой сотнями метров, отмечается диафторез. Рассланцованные породы имеют гетеробластовую структуру. В основных кристаллических сланцах и в серых гнейсах в виде новообразованной наблюдаются альбит-олигоклаз, зеленый биотит, бледноокрашенный амфибол, мелкозернистый эпидот, хлорит; в высокоглиноземистых гнейсах - мелкокелчуцкий мусковит, в кальцифирах - серпентин и актинолит. Прямоизломный диафторез отвечает условиям эпидот-амфиболовитовой и зеленосланцевой фации. На породы архея также неравномерно наложены мезозойские катаклиз и милонитизация.

Позднеархейский возраст пород купуринской серии определяется по следующим данным:

1. Серия расположена в опущенном блоке относительно нижнего архея и отличается от него по вещественному составу, метаморфизму и характеру сопутствующего магматизма; среди ее пород, в частности, отсутствует габбро-анортитовая формация, широко развитая в смежной части Чогарского выступа нижнего архея /7, 9, 20/.
2. Прогрессивный метаморфизм, присущий породам серии, наложен в виде изофаunalного диафтореза на ее гранулитовое основание.
3. На породы серии наложен диафторез, изофаunalный с прогрессивным метаморфизмом джелтулакской серии нижнего протерозоя,

выходы которого сохранились северо-западнее данной площади, в бассейне р. Сугддар /9/.

4. По радиогеологическим данным, на западе Станового хребта возраст старового комплекса оценивается значениями 2540-3100 млн. лет /4/.

#### ВЕРХНИЙ ПРОТЕРОЗОЙ

**Т о л п а с л ю д и с т ы х с л а н ц е в (PR<sub>2</sub>)**  
составляет вытянутый вдоль южного склона хр. Джагды блок (ширина до 2 км) и относится к древним формациям Монголо-Охотской складчатой области. В составе толщи преобладают слюдистые (с серпилитом, хлоритом, стилюномеланом, мусковитом, биотитом, иногда карбонатом) сланцы, местами переходящие в метапесчаники, и филлиты. Им подчинены зеленые сланцы с хлоритом, эпидотом, актинолитом, иногда пумпеллитом и глаукофилом и мраморизованные известники. Блок верхнего протерозоя выделяется на аэрофотоснимках более сложенным рельефом в сравнении с развитыми южнее толщами триаса и юры.

В береговых обнажениях вдоль р. Аракан, в 0,5-1 км западнее плодородии листа, составлен следующий наиболее полный разрез толщи (снизу вверх):

1. Известники мраморизованные с остатками микроптилита *Volvatella cf. zonalis* Nar., *Vesicula-glytes* cf. *Iobatus Reitl.*, *Oscia sp.*, *Oleoska* sp., *Spongiosites* cf. *cyrtotiligerum* (Vleg.) . . . . . 175 м

#### 2. Сланцы известково-слюдистые, метапесчаники,

филлиты . . . . . 230 "

#### 3. Сланцы зеленые . . . . .

4. Сланцы известково-слюдистые . . . . . более 175 "

#### 5. Сланцы слюдистые, реже зеленые (пласти

до 20 м) . . . . . 390 "

#### 6. Сланцы слюдистые . . . . .

250 "

#### 7. Сланцы пумпеллитовые и слюдистые . . . . .

60 "

#### 8. Сланцы слюдистые . . . . .

620 "

#### 9. Сланцы зеленые . . . . .

10 "

#### 10. Сланцы слюдистые и метапесчаники . . . . .

120 "

Сходный разрез видимых низов толщи установлен по коренным выходам и делювию вдоль р. Мал. Курнал (снизу вверх):

- |  |      |
|--|------|
| 1. Известники, рассланцованные до булыжников                             |      |
| 2. Слюдистые, реже зеленые сланцы  | 30 " |
| 3. Известняки мраморизованные с прослойками известково-слидистых сланцев | 70 " |
|  | 40 M |

Более высокая часть толщи, изученная по линии канав на водоразделе рек Бол. и Мал.Курнал, имеет следующий разрез (снизу вверх):

1.	Метапесчаники полимиктовые . . . . .	220	м
2.	Филлиты и слюдистые сланцы . . . . .	30	"
3.	Метапесчаники . . . . .	20	"
4.	Слюдистые сланцы и филлиты . . . . .		
	Мощность разреза 340 м.		

Слюдистые сланцы представляют собой мелко-среднепористые  
сланцеватые породы темно-серого, серого цвета с тонкотекстурной,  
часто плойчатой текстурой. Структура их мелкозернистая лепидо-  
граптолистовая, иногда переходная к блеститосаммитовой и бласто-  
алевролитосаммитовой. Они содержат кварц – 5–45%; серцинит, перехо-  
дящий в альбит – 5–30%; стиллит –

даций в мелкощетичатый мусковит – 15–40%, альви-  
нномелан, переходящий в мелкощетичатый болит – 0–40%; хлорит –  
0–10%, эпидот – 0–5%. Аксессорные минералы: сфен, циркон, апа-  
лит, гранат, турмалин, магнетит. Наиболее распространены кварц-  
альбит-сертицитовые и кварц-альбит-стильномелан-сертицитовые  
сланцы. В известково-сланистых разновидностях сланцев присущест-  
вует до 15–30% малозернистого кальита. Метапесчаники связанны  
со сланцами постепенными переходами и отличаются от них более  
четкой бластолескимитовой, бластовлевропсаммитовой структурой,  
отсутствием мусковита и биотита. В обломках преобладает кварц

номелагу, в свою очередь замещается хлоритом. Реликтовый характер глаукофана свидетельствует о вероятном первоначальном метаморфизме пород в условиях фации глаукофановых сланцев, а позднее — в фации зеленых сланцев.

толитов. В разрезе по р.Алакан (чаща I) комплекс онкоглифов и катаграфий, по мнению А.Г.Постелова, отвечает венецкому (подмскому) времени.

Собранные в разрезе по р.Мал.Курнал *Vesicularites flexuosus* Reitl. и *Osagia columnata* Reitl., согласно определениям З.А.Журавлевой, относятся к среднему ридже, а *Vesicularites cheirretus* Z. Шнг., *Nubesularites bodies* Z. Шнг., *Nubesularites uniformis* Z. Шнг. (определ. В.И.Вязгалова) — к венчу. По мнению А.А.Майбороды /17/, микройтиолиты в разрезе находятся в гальках известковистых конгломератов. Изучивший позднее эти породы В.А.Барченко определил их как буднированные известники.

МЕЗОЗОЙСКАЯ ГРУППА

Отложения мезозоя в рассматриваемой части Монголо-Охотской складчатой области представлены верхнетриасовыми Кулганской и Нелской и нижнероссийской Курнальской свитами; в Верхне-Дейской и Удской впадинах - нижнемеловой Боконской свитой, а в Становой области - нижнемеловой Тюльгандинской и их турбон.

Зеленые сланцы имеют лепидонематогранобластовую структуру и сложены альбитом (10–40%), актинолитом (10–50%), хлоритом (5–45%), эпидотом (5–25%), стилломеланом (0–15%); спорадически присутствуют кварц (до 5%), пумпеллит (до 30–40%), глауконит, замещенный актинолитом (до 40%), карбонат (до 5%). Аксессуары: лейкосен и магнетит. Глауконит преокристаллизует в фиолетово-

## ТРИАСОВАЯ СИСТЕМА

### В е р х н и й о т д е л

**М у я к а н с к а я с в и т а** ( $T_3^{sh}$ ) образует небольшой выход на склоне хр. Джагды, в междуречье Муякан — Мал.Курнал. Она сложена рассланцованными, метаморфизованными песчаниками с редкими прослойками филлитизированных алевролитов и зеленых сланцев. По левобережью и коренным выходом вдоль р. Нел установлен следующий разрез отложений свиты (снизу вверх):

1. Метапесчаники зеленовато-серые неравномерно-зернистые с редкими прослойками филлитизированных алевролитов.

2. Метапесчаники зеленовато-серые среднекрупнозернистые.

3. Метапесчаники серые, неравномерно-зернистые . . . . . 420"

4. Метапесчаники зеленовато-серые, среднекрупнозернистые . . . . . 70"

Мощность разреза 990 м.

По р. Муякан в низах видимого разреза свиты в левобережье встречаются залежи эпидот-хлоритовых сланцев. С севера Муяканской свиты по разлому граничит с породами верхнего протерозоя, а с юго-запада перекрыта Нелской свитой. Видимая мощность ее около 1200 м.

**Н е л с к а я с в и т а** ( $T_3^{sh}$ ) развита в бассейне

р. Мал.Курнал и сложена филлитизированными алевролитами с редкими прослоями метапесчаников и линзами зеленых сланцев. Полный разрез ее изучен по линии канав в бассейне р. Мал.Курнал. Здесь на песчаниках Муяканской свиты согласно залегают (снизу вверх):

1. Алевролиты филлитизированные . . . . . 150 м

2. Метапесчаники мелко-среднезернистые . . . . . 70 "

3. Алевролиты филлитизированные с подчиненными

пластами метапесчаников (до 50 м) и зеленых сланцев (до 15 м) . . . . . 720 "

4. Алевролиты филлитизированные в частом чередовании с песчаниками мелко-среднезернистыми . . . . . 300 "

Мощность смыты 1240 м.

Выше залегают отложения Курнальской свиты.

Состав Муяканской и Нелской свит в пределах территории выражено простирацию. Слагавшие их породы имеют следующие петрографические особенности. Метапесчаники — серые, зеленовато-серые разнозернистые породы со сланцеватой текстурой и пласто-

посламитовой структурой. Размер зерен в них изменяется от 0,1 до 2 мм. Они представлены кварцем (50-60%) и плагиоклазом (20-40%) с подчиненной примесью микросланцев, микрокварцитов (до 20%) и эпидота (до 7%). Цемент базального типа имеет микролепидогранобластовую структуру и состоит из мелких (0,02-0,05 мм) зерен кварца, альбита, серицита, стильтномелана, реже эпидота, хлорита, карбоната. Интенсивно рассланцованные песчаники в зонах мощностью до первых десятков метров метаморфизованы до кварцальбит-серидитовых сланцев.

Филлитизированные алевролиты — темно-серые, реже зеленовато-серые тонкосланцеватые породы. Они состоят из тех же минералов, что и метапесчаники, но отличаются от них более мелкозернистой (до 0,1 мм) бластоалевритовой до микролепидобластовой структуры и повышенным количеством слюдистых компонентов (20-30%). Зеленые сланцы имеют микрониматолепидобластовую структуру и состоят из альбита (30-50%), хлорита (20-30%), эпидота (5-10%), актинолита (0-20%), стильтномелана (3-5%), серицита (до 5%), кварца (до 5-10%) и дисперсной примеси рудного минерала и лимонита (до 5%).

В.В. Ольковым /17/ Муяканская и Нелская свиты первоначально были выделены в составе условно нижне-среднекаменноугольных отложений. В 1967 г. южнее описываемой площади М.Т.Турбин обнаружил в гальке конгломератов Муяканской свиты остатки позднепермских шланок, позднее в Нелской свите были собран комплекс органических остатков юрского яруса /1/. Это служит основанием для отнесения данных свит к верхнему триасу.

Породы триаса метаморфизованы в фации зеленых сланцев и местами трудно отождествимы от сходных пород, относимых к верхнему протерозою. Поэтому проводимая граница между этими образованиями не лишена условности и в дальнейшем может быть уточнена.

### ЮРСКАЯ СИСТЕМА

#### Н и ж н и й о т д е л

**К у р н а л ь с к а я с в и т а** ( $J_1^{sh}$ ) без признаков утлогоного несогласия перекрывает на крайнем юго-западе территории Енокур свиту. Ее слагают рассланцованные песчаники с подчиненными пластами и прослойками филлитизированных алевролитов. Наиболее представительный разрез этой свиты составлен по кирпичным выходам в долине р. Большой Курнал. На филлитизированных алевролитах Нелской свиты здесь залегают (снизу вверх):



Таблица 3

Химический состав вулканических пород нижнего мела (вес.%)

Окислы	Образцы						
	к-I42	к-I37	к-I2I	к-I57	к-I54-2	5360-6	536I
I	2	3	4	5	6	7	8
SiO <sub>2</sub>	57,03	61,16	57,21	68,01	60,09	72,93	72,43
TiO <sub>2</sub>	0,80	0,63	0,64	0,43	0,63	0,27	0,31
Al <sub>2</sub> O <sub>3</sub>	18,90	18,13	17,69	15,27	17,55	14,07	14,35
Fe <sub>2</sub> O <sub>3</sub>	4,57	3,05	4,35	2,15	4,0	0,77	1,03
FeO	1,51	1,16	1,49	1,02	1,49	0,67	0,54
MnO	0,10	0,13	0,13	0,09	0,09	0,06	0,05
MgO	1,34	1,12	2,47	0,69	1,97	0,33	0,31
CaO	6,38	4,98	2,54	2,79	5,05	0,92	0,85
Na <sub>2</sub> O	5,17	5,47	6,41	4,76	5,62	4,45	4,31
K <sub>2</sub> O	1,59	1,78	2,81	3,70	2,19	4,97	4,96
P <sub>2</sub> O <sub>5</sub>	0,32	0,32	0,39	0,14	0,30	0,04	0,05
CO <sub>2</sub>	0,47	1,16	0,43	0,11	0,45	-	-
H <sub>2</sub> O	1,52	0,59	3,02	0,52	0,35	0,29	0,41
Σ	99,70	99,68	99,58	99,68	99,78	99,77	99,60

Продолжение табл.3

I	2	3	4	5	6	7	8
Na <sub>2</sub> O+K <sub>2</sub> O	6,76	7,35	9,22	8,46	7,81	9,38	9,27
Na <sub>2</sub> O/K <sub>2</sub> O	3,25	3,07	2,28	1,28	2,57	0,89	0,87
$a_{1'} = \frac{Al_2O_3}{FeO+Fe_2O_3+MgO}$	2,55	3,4	2,13	3,96	2,35	7,90	7,63
$f = FeO+Fe_2O_3+MgO+MnO+TiO_2$	8,32	6,09	9,08	4,38	8,18	2,10	2,24
$K\Phi = \frac{FeO+Fe_2O_3}{FeO+Fe_2O_3+MgO}$	82,0	78,9	70,0	82,0	74,0	81,0	83,5

П р и м е ч а н и е. Обр.к-I42, к-I37, - трахиандезиты ( $\tau\alpha'K_1$ ), обр.к-I2I - кварцевый латит ( $\tau\alpha'K_1$ ), обр.к-I57 - трахидацит ( $\tau\alpha'K_1$ ), обр.к-I54-2 - трахиандезит ( $\mu\alpha K_1$ ); обр.5360-6 - фельзит ( $\mu\lambda K_1$ ), обр.536I - гранит-порфир ( $\mu\lambda K_1$ ), правобережье р.Арги.

Туфы трахиандезитов состоят из псаммитовых и псевдитовых обломков лав того же, реже более кислого состава и кристалло-кластов плагиоклаза, пироксена, амфибола, реже кварца. Они сдементированы слабо раскристаллизованной плотной пепловой мас-  
сой, по которой развиты хлорит, лимонит, карбонат, цеолиты.

Турбогравелиты состоят на 60-70% из неравномерно окатанных обломков и гравия трахиандезитов, архейских гранитоидов, мета-морфических пород и кварца. Цемент псевдито-псаммитовый, плохо сортированный кварц-полевошпатовый с примесью (20-30%) вулканомиктового материала. Полимикийовые песчаники - зеленовато-серые средизернистые породы, состоящие из неравномерно окатанных обломков (около 70%) полевого шпата, кварца, реже биотита, си-ментированных плотной слюдисто-алевритовой массой.

Калий-аргоновый возраст трахиандезитов из покрова (пробы 4,5) составляет 102 млн. лет ( $K = 1,36\%$ ,  $\text{Ar}_{40}^{40} = 9,6 \cdot 10^{-9\%}$ ,  $\text{Ar}_{40}^{40}/\text{K}^{40} = 0,0058$ ) и 117 млн. лет ( $K = 1,92\%$ ,  $\text{Ar}_{40}^{40} = 15,6 \cdot 10^{-9\%}$ ,  $\text{Ar}_{40}^{40}/\text{K}^{40} = 0,0067$ ). Он отвечает верхам нижнего мела.

### КАЙНОЗОЙСКАЯ ГРУППА

Кайнозой представлен рыхлыми речными, озерно-речными, озерно-болотными и делювиально-пролювиальными отложениями. Они занимают около 40% территории и развиты преимущественно в Верхне-Зейской и Удской впадинах. Отложения относятся к неогеновой и четвертичной системам.

#### НЕОГЕНОВАЯ СИСТЕМА

##### Нижний средний миоцен

Дуткаанская свита ( $N^1-2 d t$ ) распространена во внутренних частях Верхне-Зейской и Удской впадин, где вскрыта скв. 2 - руч. Тыльянак, скв. 3 - руч. Мужачан и скв. 4 - бассейн руч. Таксан (рис. 2). Глубина залегания кровли свиты от поверхности составляет соответственно 125, 85 и 152 м, ее абсолютные отметки - 275, 335, 278 м. Выходов дутканской свиты на поверхность не установлено. В ее составе преобладают глины и алевриты, появление и исчезновение мощных пачек которых проводятся ее границы. В подчинении встречаются пески и бурые угли. Наиболее полный разрез установлен в скв. 3 (см. рис. 2), где под песками, от-носимыми к верхнему миоцену, вскрыты (сверху вниз):

1. Глины углистые . . . . .	2,0 м
2. Пески разнозернистые . . . . .	5,5 "
3. Угли бурые . . . . .	2,5 "
4. Пески и углистые глины в переслаивании . . . . .	13,5 "
5. Угли бурые . . . . .	3,0 "
6. Глины, алевриты, пески в частом чередова- нии с прослоjkами бурых углей до 0,5 м . . . . .	63,0 "
7. Угли бурые . . . . .	3,5 "
8. Алевриты с прослоjkами глин и песков с про- пластками бурых углей до 0,5 м . . . . .	54,0 "
9. Алевриты с дресвой кварца и турбогравелинами . . . . .	8,0 "
10. Глины и алевриты в тонком переслаивании . . . . .	57,0

Мощность разреза 212 м.

Ниже залегают выветрелые конгломераты, отнесенные к нижне-межье.

Ближе к краю Дальнего, в скв. 2, разрез дутканской свиты от ее кровли следующий (сверху вниз):

1. Глины с прослоjkами (до 10 см) бурых углей . . . . .	28,0 м
2. Угли бурые . . . . .	1,0"
3. Глины с прослоjkами алевритов и песков . . . . .	10,5"
4. Угли бурые . . . . .	2,0"
5. Глины углистые с прослоjkами алевритов . . . . .	48,9"
6. Пески с дресвой и прослоjkами алевритов и бурового угля (до 0,2 м) . . . . .	19,6"
7. Алевриты и глины, в низах пачки с дресвой вы- ветрелых гранодиоритов . . . . .	13,0"

Мощность разреза 123 м.

В пределах Дуггинского порога, разделенного Верхне-Зей-  
ским и Удским впадинам, разрез свиты (скв. 4) следующий (сверху  
вниз):

1. Глины, в нижней части пласта с примесью кварцевого гравия . . . . .	г. 13,0 м
2. Пески полимикийевые, разнозернистые с гра- вием . . . . .	6,0"
3. Глины песчанистые с мелким редким гравием . . . . .	23,0"
4. Глины углистые с пропластками (до 20 см)	
буровых углей . . . . .	2,0"
Мощность разреза 44 м.	

Мощность свиты возрастает от краевой части Дальнего к центральной, где, по данным В. А. Барвенко /24/, она достигает 300 м.

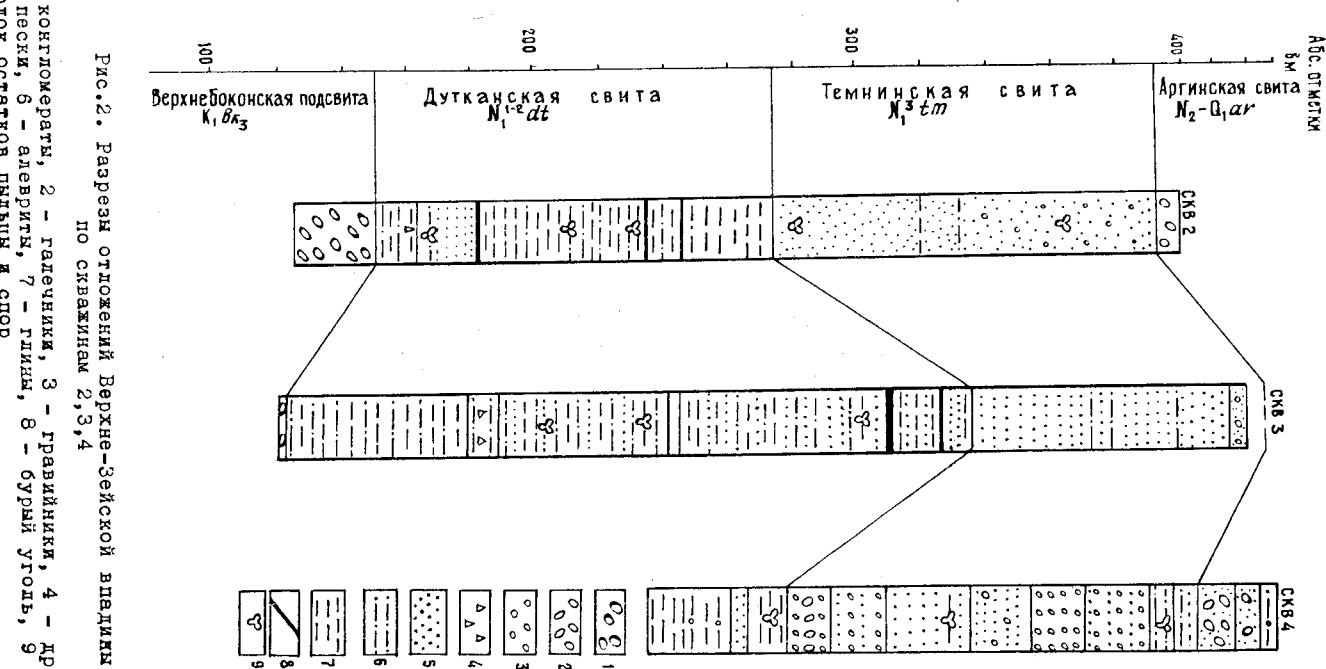


Рис.2. Разрезы отложений Верхне-Зейской впадины по скважинам 2,3,4  
1 - конгломераты, 2 - галениты, 3 - гравийники, 4 - хрусталь, 5 - пески, 6 - доломиты, 7 - глины, 8 - бурый уголь, 9 - мергели  
находок остатков пыльцы и спор

Глины представлены вязкими разновидностями серого цвета, иногда с зеленоватым, коричневым и голубоватым оттенками. По данным шести анализов из скв.2, содержание окислов в вес.% варьирует в них в следующих пределах:  $\text{SiO}_2$  - 49,6-57,5;  $\text{TiO}_2$  - 0,9-1,2;  $\text{Al}_2\text{O}_3$  - 18,2-27,2;  $\text{Fe}_{2\text{O}}_3$  - 1,9-5,2;  $\text{MnO}$  - 0,2-2,0;  $\text{CaO}$  - 0,6-1,7;  $\text{Na}_2\text{O}$  - 0,8-2,1;  $\text{K}_2\text{O}$  - 1,2-2,0. Согласно термическому анализу, глины в верхней части разреза относятся к гидрослюдистым с примесью каолинита. Западнее /24/ в составе свиты установлены также существенно каолинитовые глины. Пески мелкозернистые, серого, зеленовато-серого цвета, имеют кварц-полевошпатовый и полевошпатовый состав (до 92-96% полевого шата). В тяжелой фракции доминируют эпидот, сфеин, амфибол, циркон, которым подчинены ильменит, лейкоксен, гранат. Среднее содержание окислов в вес.% по 10 анализам следующее:  $\text{SiO}_2$  - 54,8;  $\text{TiO}_2$  - 1,0;  $\text{Al}_2\text{O}_3$  - 20,4;  $\text{Fe}_{2\text{O}}_3$  - 4,1;  $\text{MnO}$  - 1,1;  $\text{CaO}$  - 1,2;  $\text{Na}_2\text{O}$  - 1,7;  $\text{K}_2\text{O}$  - 2,1.

Алевриты отличаются от песков лишь пониженной степенью зернистости.

Бурые угли - темного буровато-коричневого цвета, матовые, плотные. Текстура их неяснослоистая, линзовидно-слоистая, реже плотная. Структура тонкотриховатая до неяснотриховатой. Они относятся к классу гематитовых, подклассу гематитов и содержат витринит, семифренинит, фозинит и лейнитинит.

В палинологическом спектре отложений (скв.2,3,4) доминирует разнообразная пыльца теплолюбивых покрытосеменных (57-59%), голосеменных (21-30%) и споровых (12-21%) растений. Из них руководящее значение имеет комплекс субтропических форм *Caryya*, *Tlex*, *Fagus*, *Nyssa*, *Liquidambar*, *Celtis*, *Alnus*, *Salicaceae* и др., которые, по мнению палинологов А.Р.Боковой и др., характерны для нижне-среднемиоценовых отложений юга Амурской области.

Свита является основной угленосной формацией Зейско-Удской депрессии.

#### В е р х н и й м и о ц е н

Т е м и н с к а я с в и т а ( $N_1^2tm$ ) залегает как на Дутканской свите, так и на кристаллическом основании по краям депрессии. В ее составе распространены каолинсодержащие пески, гравийники, алевриты и глины с линзами лимнитов. На максимальную мощность теминская свита вскрыта скважиной 4 в бассейне р.Таксан. Разрез ее здесь от кровли к подошве следующий (сверху вниз):





слоями глин, алевритов и торфа. Состав отложений не выдержан, но обычно в низах их преобладают галечники, иногда с валунами – 0,5–6,0 м, а в верхах – пески с прослойками (до 1 м) глин, алевритов, торфа – 1,8–5,0 м. Наиболее мощный разрез, быстрый скважиной в нижнем течении р.Нел, следующий (сверху вниз):

1. Дески серые мелкозернистые, до алевритов. . . . . 3,1 м
  2. Пески серые крупнозернистые с галькой. . . . . 0,6 "
  3. Галечники с гравием и песком. . . . . 5,9 "
- Общая мощность разреза 9,6 м.
- Спорово-пыльцевые спектры отложений (картировочные скважины по р.Нел и р.Арги) представлены ассоциациями как холодолюбивых, так и умеренно теплолюбивых растений, из которых руковоильшица является не растущие ныне в данном районе пихта, дуб, яльм, липник, ила, орех.

### В е р х о в е – с о в р е м е н н о е з в е н ь я (Qш-Гу)

К нерасщепленным верхнему – современному звеням отнесены дельвиально-проливальные щебни, галечники, валунники, супеси, суглиники, пески, слагающие предгорный шлейф шириной до 1 км в подножье хр.Джагы. Картрированным бурением в междуречье Мал.Курнал – Нел установлена невыдержанность состава и плотная сортированность этих отложений. Один из наиболее представительных разрезов по скважине глубиной 15 м следующий (сверху вниз):

1. Щебень и дресва метаморфических сланцев с суглиниковым заполнителем. . . . . 4,0 м
2. Суглиники с дресвой и щебнем. . . . . 9,0 "
3. Валунники с галькой, гравием, щебнем и супесью. . . . . 2,0 "

Наибольшую мощность (до 30–40 м) отложения имеют в местах выхода речных долин на равнину.

### С о в р е м е н н о е з в е н о (Гу)

Современное звено представлено руслонными и пойменными отложениями рек и круглых ручьев. Наибольшей ширины (до 1,5–2 км) они достигают вдоль р.Зеи и р.Арги. Руслонные отложения представлены галечниками с песком и валунами и песками, образующими консы. В пойме они уступают место более тонкозернистым и тонкоклостистым супесям, суглиникам и илам. В равнинной части территории в составе аллювия преобладают пески, а в гористой – галечники,

в верховых горных водотоков аллювимальные отложения переходят в аллювально-дельвиальные и дельвиальные. Мощность современного аллювия достигает 5 м.

В северном обрамлении владины метаморфические и магматические породы покрыты элювально-дельвиальным чехлом мощностью 0,5–3 м. Он представлен щебнем, дресвой и глыбами с суглиником заполнителем.

Для четвертичных отложений характерны серый цвет, полимиктовый состав, отсутствие признаков выветривания. В аллювимальных галечниках, реже песках, встречаются золото, молибденит, халькопирит, киноварь, антимонит, что указывает на возможную локализацию в них россыпных месторождений. Они также пригодны для использования в качестве строительных материалов.

## ИНТРУЗИВНЫЕ ОБРАЗОВАНИЯ

Интрузивные образования слагают около 20% территории. Они разделены на позднеархейские, раннепротерозойские, раннемеловые и нерасщепленные меловые интрузии.

### ПОСДИНЕАРХЕЙСКОЕ ИНТРУЗИИ

Г а б б р о – а м ф и б о л и т ы ( $\text{vAr}_2$ ), м е т а м о р ф и з о в а н н ы е п и р о к с е н и т ы, г о р н ы 1. б 1 е н – д и т ы ( $\text{dAr}_2$ ) образуют редкие линзовидные тела среди метаморфических пород верхнего архея. Относительно крупные из них, длиной до 3 м шириной до 0,8 км, установлены на левобережье руч.Гамикан, в междуречье Кинлиджак и Бираякан и по р.Таксан. Наблюдавшиеся контакты этих тел с верхнеархейскими гнейсами и сланцами согласные, параллельные полосчатости последних. В их краевых частях габбройды и гипербазиты разгнейсированы, интенсивно амфибилизированы, нередко мышеватизированы. В центре тел породы более массивные и менее метаморфизованы. Мелкие тела подвержены будинажу. Непосредственные контакты между габброго-амфибилитами и гипербазитами не наблюдались. Учитывая то, что те и другие однократно соотносятся с метагнейсами, они рассматриваются как одновозрастные образования. Относительно крупные тела гипербазитов (массив г.Дуругу, на левобережье руч.Таксан) выражены положительным аномалиями ДТа. Тела габбройдов не создают существенно возмущения магнитного поля.

Габбро-амфиболиты – темно-серые среднезернистые до круто-зернистых породы. Структура их бластогаббровая, переходящая в нематогранобластовую. Они состоят из 35–40% зелено-роговой обманки, иногда с реликтами клинопироксена, 50–55% соссаритизированного, обычно раскисленного плагиоклаза № 28–30, 5–7% коричневого биотита и новосформирований кварца (до 5%), хлорита, эпидота, иногда микроклина (до 1–2%). Аксессории: апатит, сфен, титаномагнетит.

Пироксениты и горнолениты – темные, зеленоватые породы, состоящие из моноклинного (0–90%) и ромбического (0–5%) пироксенов, частично, либо полностью (в горноленитах) замещенных голубовато-зеленым амфиболом. В подчинении встречаются оливин (0–5%), замещенный серпентином, тальк, магнетит, пирротин, зеленая шпинель.

Будинаж тел описываемых пород в складчатых митматизированных тонах верхнего архея, а также их метаморфизм, свидетельствует о формировании их до позднеархейской складчатости. Калий-аргоновый возраст габбро-амфиболита из бассейна руч. Бирялан (проба 3) составил 140 млн лет ( $K = 2,0\%$ ,  $\Delta t_{40} = 19,9 \cdot 10^{-9} \text{ Г/Г}$ ,  $\Delta t_{40}/t_{40} = 0,008\%$ ). Он, очевидно, отражает время мезозойской активизации района.

**Гранодиориты** ( $\text{TSAR}_2$ ), квадровые дюориты, дюориты гнейсы и дюориты, слагают два крупных массива: Аргинский (более 600 км<sup>2</sup>) и Ганиканский (свыше 200 км<sup>2</sup>), а также более мелкие тела среди пород верхнего архея, в бассейнах р. Торбуки, ручьев Колды-Гагиды и Тук-Макыг.

Аргинский массив имеет форму вытянутой к северо-востоку сигмоиды. Гнейсовидность в нем ориентирована согласно с элементами залегания его контактов и полосчатости, имеющихся пород и потухшего преимущественно в западных направлениях под углами 30–70°. Это позволяет интерпретировать массив как интуриформационный конкордантный пултон, внедренный вдоль границы некиргской и тыкакской синт. В разрезе по р.Арги зафиксированы складки гнейсовидности шириной от первых десятков до сотен метров с наклоном крыльев 30–60°. Нижнюю, лежащую часть Аргинского массива слагают среднезернистые порфиробластовые биотитовые, роговообманково-биотитовые гранодиориты. В центре массива они становятся более мезократовыми и близки к биотит-роговообманковым тоналитам. Последние в высокой части массива через кварцевые диориты местами переходят в роговообманковые диориты. Здесь же массив наибольше интенсивно расщеплен на многочисленные пластообразные апо-

фзы и содержит вытянутые вдоль гнейсовидности линзовидные ксенолиты вмещающих пород. Переходы между гранодиоритами и диоритами чаще всего постепенные на интервалах ширины до километра. В краевых частях массива, особенно вдоль контактов с ксенолитами, отмечается также полосчатое чередование пород различной основности.

Ганиканский массив вытянут в субширотном северо-восточном направлении. Он сложен роговообманково-биотитовыми гранодиоритами, гнейсовидность которых погружена к северу и северо-западу под углами 30–55°. Таков же преобладающий наклон вмещающих гнейсово-митматитовых толщ. Пластовые апофизы массива на правобережье р.Зеи вместе с вмещающими породами смты в складки. Однако по отношению к общей складчатой структуре массив, ввиду линейной вытянутости, выглядит дискордантным и выполняет зону крутого архейского разлома.

Контакты описываемых пород с гнейсами и кристаллическими сланцами резкие, согласные, параллельные полосчатости. Мелкие тела и апофизы имеют пластовую силообразную форму. Диориты и гранодиориты содержат ксенолиты габбро-амфиболитов и вместе с вмещающими породами митматизированы и гранитизированы в процессе позднеархейского ультраметаморфизма. В магнитном поле и под действием горячим притяжкам они не отличаются от слюдисто-кристаллических образований верхнего архея.

Гранодиориты – серые средне-крупнозернистые гнейсовидные до массивных породы с бластогранитоморфной зернистостью до лепидолематогранобластовой структурой, часто с элементами порфиробластовой. Они содержат 40–60% слабо пегмато-зоонального олигоклаза, 20–25% кварца, 5–25% микроклина, 5–20% биотита, 0–10% талька-зеленой роговой обманки, 3–5% эпидота. Вторичные минералы представлены серицитом и хлоритом, аксессории – сференом, магнетитом, апатитом, цирконом. Диориты и кварцевые диориты отличаются более темной окраской, отсутствием порфиробластов микроклина и содержат 50–60% раскисленного по краям зерен андезина, 15–30% роговой обманки, 3–7% биотита, 2–18% кварца, 0–10% микроклина, до 10% эпидота. Микроклин развит в интерстициях плагиоклаза и кварца и в виде порфиробластов с расплывчатыми краями поперечником до 2 см, иногда с мицелловыми каймами. Реакционный характер микроклина свидетельствует о существенно метасоматическом его происхождении. Первичный состав пород, вероятно, отвечал ряду тоналита-диорита.

По петрохимическим особенностям гранодиориты и кварцевые

диориты относятся к калиево-натриевой серии (табл. 4). Малокаль-  
вие гранодиориты (обр. 5449) отвечают тоналитам. Для пород харак-  
терна повышенная глиноzemистость.

Возраст рассмотренных интрузий определяется их образованием  
до главного этапа складчатости и ультраметаморфизма верхнеар-  
хейских толщ.

**Граниты и плагиограниты биоти-**  
**то в и с и д в у с л о д я н ы е гн е и с о в и д и н ы е**  
( $\text{1Ar}_2$ ) относятся к ультраметаменным образованиям и связаны пост-  
епенными переходами с мигматитами. Наиболее широко они распрос-  
транены в виде мелких тел, пропитывающих толщи верхнего архея.  
Вытянутые массивы их площадью до  $80 \text{ km}^2$  локализованы в призам-  
ковых частях крупных складок (бассейн р. Торбуки и правобережье  
р. Зеи), по краям Ганикансского и Аргинского массивов гранодиори-  
тов и диоритов и вдоль тектонической границы блоков в нижнего и  
верхнего архея. Контакты гранитов и плагиогранитов с вмещающими  
породами согласные, как резкие инъекционные, так и постепенные,  
через теневые мигматиты. Последние особенно часто наблюдаются  
вдоль границ с лейкократовыми гнейсами и позднеархейскими гра-  
нидиоритами. Граниты в этих местах содержат скапилиты, обладают  
теневой полосчатостью.

Мелкие тела гранитов и плагиогранитов имеют пластообразную  
форму, чередуются с митматизированными метаморфическими порода-  
ми и смты вместе с ними в складки. Гнейсовидность и полосчатость  
так и других параллельны. В замках складок мощность тел увеличи-  
вается. Они, подобно, в основном образовались на месте в  
процессе анатексиса. Крупные тела более расплывчатые, содержат  
ксенолиты и скапилиты вмещающих пород, разветвлены на соглас-  
ные, реже секущие инъекционного типа. Образование этих  
тел связывается с перемещением расплавов в ядра складок и зоны  
разрывов. Судя по поведению застегания гнейсовидности и контак-  
тов, они конкордантны к позднеархейской складчатой структуре.  
Текстурных и вещественных отличий между антекститами и пере ме-  
щенными гранитогранитами не установлено. Особенности их состава  
зависят от характера вмещающих пород. Среди высокоглиноzemистых  
гнейсов нижнеруничской подсвиты и Тынкской свиты преоблада-  
ют двуслюдяные, иногда гранатодержащие граниты и плагиограниты;  
среди существенно роговообманных пород характерны их биотито-  
вых разновидности. В краевых частях тел гранитоиды обогащены  
слодами, в центральных – чаще встречаются лейкократовые граниты.

Химический состав интрузивных пород (вес. %)

Таблица 4

Окислы	Образцы							
	2422	5449	2054	3298	2310	5273	5336-1	5330
$\text{SiO}_2$	58,85	66,83	66,90	71,00	71,17	70,94	70,17	76,85
$\text{TiO}_2$	0,91	0,23	0,60	0,37	0,28	0,32	0,38	0,16
$\text{Al}_2\text{O}_3$	17,19	18,25	16,21	13,56	15,52	14,37	14,63	12,09
$\text{Fe}_2\text{O}_3$	1,76	0,60	0,97	2,46	0,29	0,32	1,40	0,69
$\text{MnO}$	0,07	0,01	0,05	0,03	0,01	0,04	0,05	0,04
$\text{MgO}$	2,69	0,71	1,18	1,07	0,58	0,89	0,76	0,23
$\text{CaO}$	5,26	3,81	2,69	2,21	1,95	2,06	2,06	0,43
$\text{Na}_2\text{O}$	5,02	6,00	4,73	4,67	4,47	3,48	4,16	3,91
$\text{K}_2\text{O}$	1,62	1,41	3,42	3,70	3,58	4,61	4,15	4,42
$\text{P}_2\text{O}_5$	0,18	0,07	0,18	0,12	0,08	0,09	0,12	0,01
$\text{SO}_3$	0,02	–	–	0,12	0,01	0,00	0,01	0,01
$\text{CO}_2$	0,51	0,04	0,63	0,07	0,15	0,27	0,00	0,00
$\text{H}_2\text{O}$	1,68	0,59	0,24	0,32	0,46	0,63	0,42	0,37
$\Sigma$	99,56	99,55	99,65	100,49	99,69	99,56	99,58	99,59
$\text{Na}_2\text{O} + \text{K}_2\text{O}$	6,64	7,41	8,15	8,37	8,05	8,09	8,31	8,33
$\text{Na}_2\text{O}/\text{K}_2\text{O}$	3,10	4,26	1,38	1,26	1,25	0,75	1,00	0,89
$\text{al}^+$	2,08	7,90	4,05	3,14	7,72	5,23	4,27	9,30
$f$	9,23	2,55	4,65	4,72	2,30	3,11	3,86	1,50
КФ	67,0	69,0	71,0	75,0	71,0	68,0	78,0	82,0

Причина. Обр. 2422 – кварцевый диорит ( $\delta\text{Ar}_2$ ),  
правобережье р. Арги; обр. 5449, 2054 – гранодиориты ( $\delta\text{Ar}_2$ ),  
басс. р. Арги; обр. 3298, 2310 – биотитовые граниты ( $\text{1Ar}_2$ ), вер-  
ховья р. Еренги и водораздел рек Уды и Арги; обр. 5273 – гранит  
двуслюдяной порфиробластовый ( $\text{1Fr}_1$ ), руч. Саливис; обр. 5336-1,  
5330 – граниты ( $\text{13K}_1$ ), р. Арги.

с поздней стадией гранитообразования связаны порфиробластами ческая микролинзация и образование пегматоидов. Микролинза- ция чаще всего проявлена в висячих, аликальных частях тел и на- ложена как на гранитоиды, так и на имеющиеся породы. Она, в частности, обуславливает гранитизацию пород Аргинского массива.

Количество порфиробластов микролина в гранитоидах достигает 20–30%. Пегматоиды встречаются как среди гранитов, так и маг- матитов. Они образуют маломощные (до 1–2 м) линзовидные тела и оторочки вокруг гранитовых инъекций, согласные с гнейсовидностью вмещающих пород, реже секущие ее.

Как на все архейские породы, на описываемые гранитоиды вдоль разломов наложены процессы рассланцевания, мионитизации и катаклизма. По магнитным свойствам граниты и плагиограниты не отличаются от вмещающих мигматизированных гнейсов и создают вместе с ними слабо дифференцированные поля пониженных значений ДТа.

Граниты и плагиограниты связаны постепенными переходами и внешне представляют собой белые, светло-серые и розоватые по- роды. Структура их гранобластовая с элементами лепидобластовой и порфиробластовой. Они состоят из олигоклаза № 20–24 (30–45%), кварца (25–35%), микролина (15–40%), биотита (2–7%), мускови- та (0–5%), граната (0–3%). Вторичные минералы: серцит, эпидот, циркон, хлорит, акцессории: апатит, циркон, сфен, магнетит. Микролин присутствует в виде ксеноморфных зерен, как не имеющих реакционных соотношений с олигоклазом, так и коррелирующих последний с образованием альбитовых, миражитовых кайм и анти- перитотов. Пегматоиды отличаются от вмещающих гранитов и пла- гиогранитов массивной пегматоидной, реже блоковой структурой. Количество мусковита в них не превышает 5%. Он мелкощетичатый, чаще всего давленный, встречается спорадически.

По химическому составу граниты отвечают нормальному гра- ниту калиево-натриевой серии (см. табл. 4), а порфиробластовые их разновидности приближаются к щелочным гранитам (обр. 3298). В

целом для них характерны преобладание натрия над калием, изменчивость глиноzemистости и содержания фемилических компонентов, что согласуется с петрографическими особенностями.

Позднеархейский возраст гранитов основывается на данных о синхронности их образования с ультраметаморфизмом и складчатостью пород купуринской серии. По этому признаку они согласованы с древнестановым комплексом. Проявленный полезных ископаемых, связанных с позднеархейскими интрузиями, не установлено. Гра- тоиды могут использоваться как строительный материал.

**Граниты микролитовые порфи- ро- бластовые** ( $\text{ГРМ}_1$ ) образуют массив (около 30 км<sup>2</sup>) в нижнем течении руч. Саливис. Он вытянут к северо-востоку вдоль разлома, отделяющего блоки нижнего и верхнего архея. С северо-запада и юго-востока массив срезан зонами мионитов, а на юго-западе гранчит с рассланцованными, бластомионитизированными позднеархейскими гнейсовидными гранитами. В отличие от последних, раннепротерозойские граниты не рассланцованные. Они розовые, пятнистые, неравномернозернистые, порфиробластовые, гнейсовид- ные до массивных. Границы их с позднеархейскими гранитами нерез- кая в связи с наложением на рассланцованные вмещающие породы порфиробластеза калиевого полевого шпата. Простижение гнейсовид- ности в массиве меняется от северо-западного к северо-восточному при угле падения 30–70°. Оно не согласуется с преобладающим северо-восточным простиранием сланцеватости вмещающих пород.

Граниты состоят из 35–50% микролин-пертита, 25–32% квар- ца, 20–30% альбиг-олигоклаза, 3–5% биотита, 1–5% мусковита и акцессорных: циркона, ортита, монацита, апатита. Структура их порфиробластовая. В основной ткани сочетаются участки лейко- кратового гранита с бластогидроизоморфо-зернистой структурой и линзовидные включения обогашенного слюдами субстрата с бласти- мионитовой структурой. На этом фоне развиты порфиробласты мик- ролин-пертита полегочником до 2–5 см, количество которых дости- гает 30–40%. По петрографическим особенностям можно заключить, что граниты образовались в результате кремниево-щелочного мета- соматоза по бластомионитам при частичном выплавлении эпите- ческого расплава.

Данные граниты отличаются от позднеархейских преобладанием калия над натрием и пониженной железистостью (см. табл. 4). Им присуща повышенная радиоактивность (20–35 мкР/час) за счет по- вышенного содержания ортита и монацита.

Раннепротерозойский возраст гранитов принимается на основании их пространственной и структурной связи с зонами высокотем- пературных бластомионитов, наложенных на позднеархейский фун- дамент. Возраст последних, по данным Н. Г. Судникова и др. /21/, раннепротерозойский. Калий-argonовые датировки подобных метасо- матических гранитов в центральной части Становой складчатой об- ласти достигают 1100 млн. лет /22/.

## РАННЕМЕЛОВЫЕ ИНТРУЗИИ

### Субвулканические интрузии

Трахиандезиты (так<sub>1</sub>) образуют мелкие штоки и дайки, которые прорывают покровные образования этого же состава и обрамляющие архейские породы в верхнем течении р.Арги.

Ширина тел не превышает 100-200 м. По данным профильной магниторазведки, они выражены резкими аномалиями для интенсивности до 1400 Г. От покровных трахиандезитов субвулканические отличаются лучшей раскристаллизацией и большим размером фенокристаллов (до 5 мм). По петрохимическим особенностям те и другие идентичны (см.табл.3).

Фельзиты и гранит-порфиры (ЛК<sub>1</sub>) слагают субвуликанические дайкообразные тела (до 4 км<sup>2</sup>) и рои даек, приуроченные к системе северо-восточных разломов, развитых вдоль р.Арги. Они прорывают архейские кристаллические породы и трахиандезиты. Фельзиты слагают мелкие дайки и краевые части более крупных тел. В центре последних породы раскристаллизованы до гранит-порфиров. На вершине с отметкой 638,0 на правобережье р.Арги установлено прорывание гранит-порфиров мелким (шириной 150-200 м) некром агломератных туфов смешанного состава. По данным наземной магниторазведки, некк подчеркнут локальный аномалией 600-1200 Г на фоне спокойного поля (200-300 Г), создаваемого фельзитами и гранит-порфирями. Крупные тела гранит-порфиров местами отпределены в рельфе в виде останцовых возвышений (вершины с отметками 678,0 и 638,0), что служит их дифференциальным признаком.

Фельзиты представляют собой белье, розовато-белые альбигравые и редкопорфировые лейкократовые породы. Они имеют фенокристовую структуру с элементами сферолитовой, микропойкилитовой, микролегматитовой и порфировой структур. Основную ткань в виде микролитов и мельчайших зерен слагают калиевый полевой шпат, альбит-олигоклаз и кварц. Фенокристаллы (до 15%) образованы теми же минералами и хлоритизированным биотитом. Для гранит-порфиров характерно отсутствие фенокристовой структуры и повышенное количество фенокристаллов (15-30%). Жерловые туфы, прорывающие гранит-порфирсы, состоят из обломков (до 20 см) архейских кристаллических пород, фельзитов, гранит-порфиров и трахиандезитов, скементированных туффитовым материалом кислого состава.

По химическому составу фельзиты и гранит-порфирсы относятся к классу кислых субшелочных вулканитов (см.табл.3), переходных от весмы высокотягоземистых трахириодитов к трхириолитам /2/.

Кислые субвулканические породы подверглись неравномерному окварцеванию по массе и в виде прожилков. Сопутствующие изменения выражены серидитизацией, ширитизацией и аргилизацией этих пород. Данные процессы широко проявлены на левобережье р.Арги в районе высоты 678,0, где ширина зон изменения пород достигает первых сотен метров. В окварцованных породах установлена минерализация молибдена и золота.

Калий-аргоновый возраст фельзитов (проба 6) и гранит-порфиров (проба 10) составляет 105 и 112 млн. лет (проба 6 - K = 3,98%, Ar<sub>40</sub> = 29,2·10<sup>-9</sup> г/г, Ar<sub>40</sub>/K<sub>40</sub> = 0,006; проба 10 - K = 3,32%, Ar<sub>40</sub> = 25,9·10<sup>-9</sup> г/г, Ar<sub>40</sub>/K<sub>40</sub> = 0,0064). Эти значения соответствуют верхам раннего мела.

Граниты биотитовые порфировиды (ГБ<sub>1</sub>) слагают Куртагирский массив (около 35 км<sup>2</sup>), расположенный в среднем течении р.Арги. На востоке по разрывным нарушениям он граничит с более древними образованиями. Остальная часть его перекрыта рыхлыми отложениями. Судя по контуру спокойного, близкого к нормальному магнитного поля, создаваемого гранитами, форма массива изометрична. Он сложен светло-розовыми до желтоватых массивными гранитами с дымчато-серым кварцем. По краям массива они мелкозернистые, часто с миаролитами, а на удалении от контактов - порфировидные. Структура гранитов гипидиоморфозернистая с элементами монцонитовой, микропегматитовой и порфировидной. Они содержат 25-30% кварца, 20-30% ритмично зонального идиоморфного плагиоклаза № 18-28, 35-45% микролептического мицролина, 3-6% коричневого биотита и 0-2% светло-зелено-роговой обманки. Аксессории: апатит, циркон, ортит, магнетит. Микролит образует ксеноморфные зерна в сростках с плагиоклазом, микролептическими агрегатами с кварцем, а также идиоморфные фенокристаллы поперечником до 0,7 см, составляющие до 20% объема породы. По химическому составу данные породы относят к субшелочным гранитам калиево-натриевой серии (см.табл.4).

Предполагается, что Куртагирский массив образовался позднее вулканизов, поскольку их дайки, широко распространенные среди вмещающих пород, в его пределах не встречены. Это подтверждают калий-аргогравийные датировки возрастов гранитов - 105 млн. лет, отвечающие границе раннего и позднего мела (проба 7 - K = 4,09%,

$\text{Ar}^{40} = 30,0 \cdot 10^{-9} \text{ г/г}$ ,  $\text{Ar}^{40}/\text{K}^{40} = 0,006$ ; проба 8 -  $K = 3,87\%$ ,  $\text{Ar}^{40} = 28,4 \cdot 10^{-9} \text{ г/г}$ ,  $\text{Ar}^{40}/\text{K}^{40} = 0,006$ ). Вдоль разрывных нарушений в гранитах спорадически проявлено окварцевание и развиты кварцевые жилы. Рудной минерализации в них не установлено.

#### МЕЛОВЫЕ ИНТРУЗИИ

Дайки гранит-порфиров (ГПК), спес-сартитов (ХК), диоритовых порфиров (ДПК) распространены в северо-восточной части территории вдоль зон разломов. Наиболее плотные их рои шириной до 8-12 км прослеживаются вдоль рек Арги и Гамикан. Мощность даек колеблется от десятков сантиметров до 100-200 м и чаще всего составляет несколько метров. Протяженность их вдоль р.Арги достигает 0,5 км. Простирание изменяется от субмеридионального до субширотного, но преобладает северо-восточное. Дайки тяготеют к зонам катаклизма и сами нередко дроблены и мионитизированы.

Наиболее распространены гранит-порфировидные, прорывающие трахиандезиты и раннелевые порфировидные граниты. Они представляют собой серые, розовато-серые порфировые породы. В фенокристалах (20-30%) присутствуют розовый калиевый полевой шпат, белый плагиоклаз, серый кварц, реже биотит и роговая обманка. Основная ткань состоит из тех же минералов и имеет микрографитовую структуру с элементами радиомигматовой и микрографитической. Гранит-порфир встречены лишь среди пород верхнего архея. Они отличаются от гранит-порфиров более темной окраской, преобладанием плагиоклаза над калиевым полевым шпатом и роговой обманкой над биотитом и повышенным количеством темноватых минералов (до 15%).

Спессартиты прорывают архейские породы и трахиандезиты. Это мелкозернистые темно-серые породы с характерной игольчатой роговой обманкой. Структура их микропризматическая-зернистая. Они содержат 25-40% буро-зелено-желтой роговой обманки и 55-65% таблитчатого зонального андезина. В небольших количествах в них встречаются биотит, кварц, клинопироксен, магнетит, апатит. Диоритовые порфириты по составу и структуре основной тканы сходны со спессартитами, но содержат до 30% фенокристаллов зонального андезина и призматической роговой обманки.

Расਸмотренные разновидности пород встречаются совместно, часто вне связи с крупными интрузиями, поэтому отнесение их

к конкретному интрузивному комплексу затруднено. Возраст их, определенный калий-аргоновым методом, колеблется в пределах 124-94 млн. лет и отвечает мелу (табл. 5).

Таблица 5

Возраст меловых даек, установленный калий-аргоновым методом

Про- ба	Порода	Место отбора	K, %	$\text{Ar}^{40} (\text{n} \cdot 10^{-9} \text{ г/г})$	$\text{Ar}^{40}/\text{K}^{40}$	Воз- раст, млн. лет
9	Гранит- порфир	Руч. Кир- тагир	3,43	22,5	0,0054	94
2	Диорито- вый пор- фирит	Руч. Биряя- кан	2,27	19,8	0,0071	124
1	Граноди- орит-пор- фир	Гранодиорит Гамикан	2,53	18,8	0,0061	107

Вдоль контактов даек иногда проявлены пиритизация и окварцевание, развиты прожилки кварца. Рудной минерализации в гидротермальных не встречено.

#### ТЕКОНИКА

Северо-восточная часть территории относится к архейско-раннепротерозойской Становой складчатой области, юго-западная - к протерозойско-мезозойской Монголо-Окотской складчатой области, а центральная - к системе Верхне-Зейской и Удской мезозойско-кайнозойских владин (рис. 3).

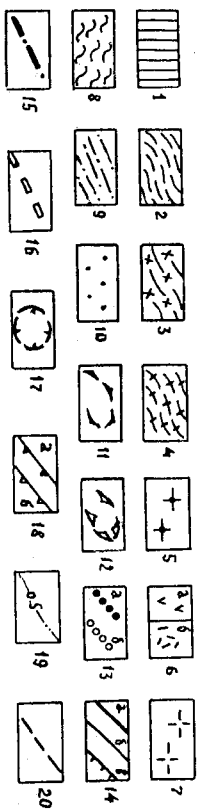
#### Становая складчатая область

В рассматриваемой части Становой области выделяются Чогарский выступ раннего архея, Кулунгинский блок позднего архея и структуры раннепротерозойской и мезозойской тектономагматической активизации /7, 9/.

#### Архейские структуры

Чогарский выступ представлен краевой юго-западной частью, расположенной в верховых р.Уды. Раннегнейзейская

Рис.3. Техническая схема



1-7 – Ставовая складчатая область; 1 – Чогарский выступ нижнего архея; 2-4 – Кулпуринский блок верхнего архея; 2 – складчатые структуры кулуаринской серии, 3 – раннескладчатые гранодиориты и якориты, 4 – соскладчатые граниты, 5 – раннепротерозойские граниты, 6 – раннемеловые вулканиты среднего (а) и кислого (б) составов, 7 – раннемеловые граниты; 8-9 – Монголо-Охотская складчатая область, структурные ярусы: 8 – позднепротерозойский, 9 – раннемезозойский; 10 – Зейско-Ульская депрессия, канюзовский чехол; II – перимагнит; 12 – центриклины; 13 – оси антиклиналей (а), синклиналей (б); 14 – разломы: а – крупные, б – второстепенные, в – с установленным наклоном смещителя; 15-16 – предполагаемые главные разломы, скрытые под ракушими отложениями: 15 – Ланская, 16 – Монголо-Охотский; 17 – Верхне-Артийская кольцевая структура; 18 – поля повышенной (а) и пониженной (б) сили тяжести; 19 – изогипсы поверхности фундамента депрессии (в южной части моря /14// ); 20 – граничи структурных элементов депрессии. На схеме арабскими цифрами (в кружках) показаны крупные разломы: 1 – Гамильтонский, 2 – Артийский, 3 – Ульянский; арабскими цифрами – интрузивные массивы: 1 – Гамильтонский, 2 – Артийский, 3 – Куртагайский. Римскими цифрами обозначены структурные элементы депрессии: I – Верхне-Зейская впадина, II – Другийский порог, III – Ульская впадина

структуре здесь интенсивно переработана наложенными дислокациями, сопровождавшимся рассланцеванием, бластомилитизацией, мицелитизацией и катаклизом пород. Фрагмент складчатой структуры диффоритов, изученный по р. Уде, свидетельствует о снятии их в складки северо-западного простирания. Ширина наиболее крупных складок до 4 км. Наклон их крыльев 20–70°. На их фоне разбиты дополнительные асимметричные складки шириной до 200–300 м с парнирами, погруженными по азимуту 330–340° под углом 20–30°. Смытию подверглись как периклиналь полосчатость (слойность) город, так и совпадающая с ней сланцеватость, образованная диффоритическими минералами. Это свидетельствует о наложенном характере складок, имеющих, вероятно, как и само рассланцевание, раннепротерозойский возраст.

В связи с широким развитием основных пород Чотарский выступ создает повышенные магнитное и гравитационное поля. Повышенная напряженность магнитного поля (до 4 мЭ) наблюдается непосредственно над выступом, а относительный максимум силы тяжести распространяется к северо-западу от него, отражая, вероятно, плавное погружение раннегнейской фундамента в этом направлении.

Купричий блок занимает большую часть выхода архейского кристаллического фундамента. Его позднеархейская структура представлена собой грабен-синклиниорий, ограниченный с юго-востока Чотарским, а с северо-запада расположенным за границей площади Сивакано-Токским выступами нижнего архея /9/. Общее простирание синклиниория в данной части северо-восточного, контурное к тектоническим границам блока. В его структуре сочетаются пересекающиеся складки северо-восточного и северо-западного простираний как линейной, так и брахиформной конфигурации. По краям блока, в бассейнах ручьев Тук-Макит, Таксан и в долине р. Зели, установлены относительно сжатые, удилищирующие асимметричные северо-восточные складки. Ширина их до 2–3 км, наклон крыльев 15–80°. В центральной части синклиниория доминирует брахиформные структуры. Наиболее крупная из них Найды-Гагиндинская антиформа расположена в бассейне одноименного ручья. Ее вытянута к северо-западу овальная периклиналь имеет пологий окончательный склон около 20 км. Породы в ее пределах погружены под углом 15–60°. Расположенная западнее Тюбукинская синформа подчеркнута вынутой к северо-востоку овальной центриклиналью попечником 7–10 км. Углы наклона ее крыльев составляют 15–60°. В промежутках между указанными структурами породы изменяют погружение от северо-восточного к северо-западному, отражая раннепротерозойскую кинематику разлома.

наличие плавных, поперечных к общему простиранию синклиниория северо-западных складок.

Приподнятая часть синклиниория, сложенная породами гамманской свиты, фиксируется в бассейне р. Гамикан по изменению простирания слоев от северо-восточных к субмеридиональным. Синклиниорий вдоль оси нарушен Гамиканским разломом, подчеркнутым одиночным массивом позднеархейских гранитоидов. По возрастанию поля силы тяжести предполагается, что его северо-западное крыло приподнято.

Особенностью позднеархейской складчатости является совместное участие в пластических деформациях субстрата и метатекта митматитов и тел ультратектонических гранитоидов ( $\gamma_{\text{АФ}}^2$ ). Гнейсовые граниты образуют седловидные раздувы в ядрах складок и имеют структуры течения, что свидетельствует о мобильности их расплавов при складкообразовании. Мелкие складки и линейность минералов ориентированы как к северо-востоку (30–40°), так и к северо-западу (300–310°). Распространены складки изгиба, внутривостового течения, волочения и облекания. По морфологии и характеру деформаций продольные и поперечные складки не отличаются, что указывает на формирование их в процессе единого этапа складчатости в условиях ультратектонизма.

К позднему архею относится западжение крупных долгоживущих разломов – Ульянского, отделяющего Култунский и Чотарский блоки, и Гамиканского. С движением вдоль них связывается образование линейно вытянутых массивов гнейсовых гранодиоритов и гранитов.

#### Раннепротерозойские структуры

Раннепротерозойские структуры, наложенные на архейские об разования, в основном представлены разрывами северо-восточного простирания, выраженным зонами бластомилонитов. Наибольшую ширину (1–2 км) зона этих пород имеет вдоль шва Ульянского разлома (низовья руч. Саливис). Бластомилониты погружены к северо-востоку под углами 20–40° и отражают межформационный срыв между блоками нижнего и верхнего архея. Гравиметрические данные свидетельствуют о пологом наклоне нижнегнейского основания в том же направлении. Во внешних частях зоны разлома архейские породы интенсивно рассланцеваны, а в Чотарском выступе смыты в наложенные складки сланцеватости. Северо-западная ориентировка этих складок, поперечная к сместителю, вероятно, отражает сдвиговую раннепротерозойскую кинематику разлома.

В юго-восточной периферии Кутуринского блока (бассейн руч. Тук-Макит и Таксан) зоны бластомилонитов шириной до 200–300 м встречаются в полосе поперечником около 12 км. Они вытянуты к северо-востоку и, судя по единичным замерам сланцевости, погружены в ту же сторону, что и сместитель Ульханско-лома. Неравномерное рассланцевование отмечается вдоль Гамиканского и Аргинского разломов и указывает на их активность в раннем протерозое.

#### Мезозойские структуры

Мезозойские структуры представлены дислокациями раннемелового структурного яруса и системой разрывов фундамента.

Раннемеловой структурный ярус сохранился в виде изометричного грабена на правобережье верхнего течения р.Арги. Слагающие его терригенно-вулканические образования, судя по замерам близгоризонтального залегания слоистости и флигельности, не претерпели складчатости. Грабен ограничен разнонаправленными разрывами. Амплитуда его погружения, вероятно, не превышает первые сотни метров. В обратном грабена в радиусе 2–3 км лембрифируется концентрическая система трещин, что свидетельствует о вероятной принадлежности его к остатку палеокальдеры.

Мезозойские разрывные нарушения и я подчеркнуты зонами катаклаза, милонитизации, гидротермальных изменений пород и раннемеловыми интрузиями. Они лембринируются на аэрофотоснимках в виде линейно вытянутых долин, лодчин, седловин и тектонических уступов. Разрывы сгруппированы в диагональную, ортогональную и радиально-концентрическую систему. К радиально-концентрической системе относится Верхне-Аргинская кольцевая структура. Она имеет форму окружности диаметром около 56 км и совмещена с расширенной частью Кутуринского грабен-синклиниория. Гамиканский и Ульханский разломы расположены по касательной к ней, а Аргинский разлом сечет ее по диаметру. Северо-восточная половина Верхне-Аргинской структуры фиксируется на поверхности, а юго-западная скрыта под рыхлыми отложениями Верхне-Зейской впадины. Внешний концентрический слой представлен изгибающейся системой сближенных разрывов, сопровождаемых катаклазом. С разрывами как в горной, так и в депрессионной части местности совпадает ориентировка долин, благодаря чему концентрический центр лембрифируется на космических снимках. В центре структуры расположена Кутагирский массив и субвулканические интрузии кислого состава. От центра под углами 30–40° расходятся радиальные разрывы. В узлах пересечения зоны Аргинского разлома с концентрическими и радиальными расколами на участках поперечником до 2–3 км проявлен плоский катаклаз, развиты крупные тела вулканитов и гидротермалиты. Судя по приуроченности к внешней части Верхне-Аргинской структуры покровных, а также внутренней – плутонических образований, она имела сводовый характер.

Вулканиты, рой даек и Кутагирский массив гранитов. Зона четко выражена в геофизических полях системой локальных магнитных аномалий и относительным гравитационным минимумом. Северо-восточное крыло разлома, отвечающее более высокой части разреза верхнего архея, опущено. Ульханский разлом подновлен ячеистой сетью зон милонитизации, наложенных на бластомилониты. Движения по нему, вероятно, имели унаследованный характер. Из северо-западных относительно крутым является разлом между верховьями руч.Колбачи и Бираякан. Он выражен серией сближенных разрывов, рассекающих покров трахиандезитов, и интепретируется как сброс амплитудой до нескольких сотен метров.

К ортогональной системе относится серия сближенных широтных разрывов между верховьями р.Тебруки и руч.Катчи-Гагинди. Они сопровождаются зонами милонитов и подчеркнуты на местности уступами южного склона отрога хр.Джалдыр. Смещения геологических границ вдоль этой зоны достигают в плане 2–3 км. Поперечный к ней крупный меридиональный разрыв фиксируется вдоль верховьев р.Мал.Торбуки. Он лембрифируется на космических и высотных снимках и выражен в магнитном поле изменениями его интенсивности. Перемещения геологических границ вдоль этого разрыва достигают 1–2 км.

К радиально-концентрической системе относится Верхне-Аргинская кольцевая структура. Она имеет форму окружности диаметром около 56 км и совмещена с расширенной частью Кутуринского грабен-синклиниория. Гамиканский и Ульханский разломы расположены по касательной к ней, а Аргинский разлом сечет ее по диаметру. Северо-восточная половина Верхне-Аргинской структуры фиксируется на поверхности, а юго-западная скрыта под рыхлыми отложениями Верхне-Зейской впадины. Внешний концентрический слой представлен изгибающейся системой сближенных разрывов, сопровождаемых катаклазом. С разрывами как в горной, так и в депрессионной части местности совпадает ориентировка долин, благодаря чему концентрический центр лембрифируется на космических снимках. В центре структуры расположена Кутагирский массив и субвулканические интрузии кислого состава. От центра под углами 30–40° расходятся радиальные разрывы. В узлах пересечения зоны Аргинского разлома с концентрическими и радиальными расколами на участках поперечником до 2–3 км проявлен плоский катаклаз, развиты крупные тела вулканитов и гидротермалиты. Судя по приуроченности к внешней части Верхне-Аргинской структуры покровных, а также внутренней – плутонических образований, она имела сводовый характер.

рактер. К югу и юго-западу от нее резко возрастает глубина погружения кристаллического фундамента Верхне-Зейской впадины (см.рис.3).

#### Монголо-Охотская складчатая область

Рассматриваемая часть данной области относится к Западно-Джадинской эвтесинклинальной зоне /1/. Она имеет двухярусное строение.

#### Нижний структурный ярус

Нижний структурный ярус представлен позднепротерозойской карбонатно-вулканогенно-терригенной формацией, метаморфизованной в условиях фаций гипакофановых и зеленых сланцев. Полосчатость и сланцеватость пород погружены к юго-западу под углами 20-40°. Моноклиналь осложнена наклонами до изоклинальных, же прямыми складками шириной до 600 м, вытянутыми в широтном направлении. В сланцах часто проявлены плойчатость.

#### Верхний структурный ярус

К верхнему структурному ярусу относится раннемезозойская формация алевролитов и песчаников Муйганской, нелской и кудильской свит, метаморфизованных в фации зеленых сланцев. Породы свит погружены в южных направлениях под углами 25-60°. Они смыты в асимметричные складки шириной до 70 м с осами, простирющиеся по азимуту 110-115°. Изоклинальные складки встречаются редко, в основном вдоль разрывных нарушений. Углового неогибаия между протерозоем и мезозоем не установлено, что, возможно, связано с переработкой протерозойских структур мезозойской складчатостью.

Складчатые структуры образований протерозоя и мезозоя нарушены широтными и северо-западными разрывами, выраженные зонально рассланцевания. Вдоль наиболее крупного разлома, разделяющего указанные образования, ширина зоны составляет 300-500 м. Она делимится в виде субширотного тектонического уступа и линейной системы расщепов и седловин. Тектониты в ней представлены тонкоразделцованными, листоватыми, иногда микроскоповыми серпентитами. Они погружены к югу под углом 30-35°. В обрамлении смещителя усилено смятие пород в мелкие изоклиновые складки с кливажом осевой плоскости, параллельным

сместителю. Аналогичный широтный разрыв, видимо, меньшей амплитуды закартирован южнее, среди мезозойских образований. Крупные нарушения сопровождаются множеством мелких, наклоненных к югу разрывов, что обуславливает местами чешуйчатый характер структуры. Метаморфизованность тектонитов и параллельность их залегания осевым плоскостям складок свидетельствуют о синхронном формировании разрывов со складчатостью и метаморфизмом мезозойских толщ. Кроме того, отмечаются поздние зоны дробления, милонитизации и зеркала скольжения, от раковинные возобновления подвижек, вероятно, в позднем мезозое и кайнозое. Рассмотренные разрывные нарушения, по данным М.Т.Турбина /1/ и В.В.Олжкова /17/, относятся к системе Ласкского разлома, ограничивающего с севера Западно-Джадинскую зону. Кинематика разрывов в основном надвигово-поддвиговая. Амплитуда подвига протерозоя под мезозой, вероятно, измеряется километрами.

В зонах разломов проявлено окварцевание и распространены кварцевые жилы мощностью до 0,5-1 м, как согласные со сланцами, так и секущие ее.

#### Верхне-Зейская и Удская впадины

Рассматриваемые впадины образуют депрессию, вытянутую вдоль границы Становой и Монголо-Охотской областей. Они заходят на территории восточной и западной краевых частей, сопряженными в междуречье Таксан - Туринга по Дуругинскому порогу шириной около 30 км (см.рис.3).

По гравиметрическим данным Верхне-Зейская впадина имеет асимметричное строение. Южный борт ее выражен зоной высокого градиента, которая переходит в относительно узкий минимум силы тяжести. По расчетам Э.Н.Липневского и В.Н.Землякова /4/, кристаллическое ложе здесь круто погружено до абсолютных отметок -2000 м. К северу и востоку от Минчума, судя по плавному возрастанию силы тяжести, рельеф ложа возвращается более полого и уплощен на краях впадины. В пределах Дуругинского порога поверхность фундамента расположена на глубине 500 м. В Удской впадине фундамент вновь опущен более чем на 0,5 км.

Магнитное поле над депрессией дифференцированное. В пределах Дуругинского порога и края Удской впадины оно повышено до 2-4 мэ и отражает, очевидно, возмущающее действие нижнеархейского базитового основания. На пологом северо-восточном крае Верхне-Зейской впадины оно идентично магнитному полю Смежной части верхнеархейского основания. В юго-восточной части впади-

ны напряженность поля повышается от борта, сложенного слабомагнитными метаморфическими породами, к внутренней наиболее погруженной части. Причина этого повышения не вполне ясна. Оно может быть вызвано залеганием на глубине высокомагнитных кристаллических основных пород или (что более вероятно) вулканитов.

Характер геофизических полей согласуется с основными элементами блоковой структуры. Резкий тектонический уступ в южном борту Верхне-Зейской впадины находится на продолжении Ланского разлома. Другутинский порог сопряжен с Чогарским выступом нижнеархейского основания. Относительно поднятая часть Верхне-Зейской впадины обмоза по контуру с Верхне-Аргинской кольцевой структурой. Наиболее глубоко погруженная часть депрессии, вероятно, отвечает тектоническому шву между Становой и Монголо-Охотской складчатыми областями (Монголо-Охотскому разлому).

По геологическим данным, в депрессии фиксируются позднемезозойский и кайнозойский структурные этапы.

П о з д н е м е з о з о й с к и й э т а ж представлен литифицированной континентальной молассой боконской свиты. Она выходит на поверхность в западном краю Улской впадины, а во внутренней части Верхне-Зейской впадины вскрыта на глубинах 256-297 м (св. 2,3). Восточнее, по данным В.Ф.Сигова /20/, мощность боконской свиты достигает 1,5 км. Ее подстилает позднемезозойская существенно андезитовая формация джелонской свиты мощностью до 1 км. Представляется вероятным, что эти отложения слагают также и наиболее глубокую часть Верхне-Зейской впадины.

Складчатость, исключая приразломные флексуры, в них не проявляется. К а й н о з о и с к и й с т р у к т у р н ы й э т а ж сложен недислоцированными ракушками отложений. По формационному признаку он подразделяется на миоценовый и плиоцен-раннегеологичный подэтажи. Нижняя часть миоценового подэтажа слагает лимническую глинисто-алевритовую угленосную формацию дутканской свиты. Она унаследована отлагалась на месте сравнительно узкого (до 40 км) мезозойского прогиба. Значительные изменения ее мощности (123-212 м) указывают на дифференцированное компенсационное погружение впадины, усиленное в ее южной части. Гравийно-глинисто-песчаная формация теминской свиты отражает последующее расширение впадины (более 50 км), уменьшение контрастности ее прогибания (вариация мощностей 85-127 м) и общее ограничение осадков. Для отложений миоцена характерны связь с корами выветривания, химическая дезинтеграция осадков до полевошпат-

кварцевых песков, существенно кварцевых гравийников и каолинитовых глин; высокая степень окатанности и сортировки обломочного материала; присутствие пыльцы субтропических растений. Это свидетельствует о формировании миоценового подэтажа в условиях пепеленизации рельефа и гумидного климата.

Плиоцен-раннечетвертичный подэтаж сложен молассоидной формацией арчинской свиты, дифференциированной на речную, озерно-речную и озерно-болотную фации. Грубообломочная фация тяготеет к низам разреза и прослеживается в виде дугообразной полосы от долины р.Зеи к подножию хр.Джагын, отражая, очевидно, след палеогоругла этой реки. В этом же направлении возрастает мощность (от 3-80 до 100 метров и более) и размерность обломков гальчила горизонта, что указывает на резкое усиление протибания южной части впадины. Широкое развитие в верхней части разреза торфяно-глинистой фации, вероятно, связано с последующим ослаблением тектонических движений. Отложения данного подэтажа отличаются от нижележащих повышенной грубоблочностью, полимиктовым составом, отсутствием химического выветривания и наличием пыльцы более холодолюбивых растений. По этим признакам их образование связывается с началом неотектонического горообразования в обрамлении впадины.

#### Краткая история геологического развития

Изложенный материал позволяет восстановить следующую последовательность тектонических этапов.

В раннем архее образовалось древнейшее гранулит-базитовое основание терриории. В позднем архее на нем заложился Кутуринский грабен-синклиниорий, в пределах которого породы претерпели складчатость, региональный метаморфизм и ультратрансформизм в условиях амфиболитовой фации.

В раннем протерозое архейский фундамент подвергся активизации, которая сопровождалась блоковыми движениями, приразломным рассланчиванием, смятием, диафторезом пород и образованием метасоматических гранитов. В конце позднего протерозоя на базитовом (?) основании заложилась Западно-Джадгинская эвгесинская зона, древнейшие (вендинские?) формации которой подверглись метаморфизму в условиях фации глаукофановых сланцев. Геосинклинальное развитие зоны продолжалось до раннего мезозоя /1/. Оно завершилось складчатостью и метаморфизмом пород в фации зеленых сланцев и образованием чешуйчатой подви-

го-надвиговой структуры зоны. В позднем мезозое территория испытала орогенно-магматическую активацию. В результате ее на стыке Становой и Монголо-Окотской областей сформировался приразломный прогиб, заполнившийся континентальной молассой. В обрамлении прогиба происходили складово-блоковые движения, сопровождавшиеся катаклизом и магматизацией пород, а в Становой области также магматической деятельностью.

В миоцене горные сооружения подверглись выравниванию, а на месте приразломного прогиба унаследовано развиивалась депрессионная структура. В миоцене – раннем плиоцене возобновилось горообразование, обусловившее накопление в депрессии грубообломочных отложений.

## ГЕОМОРФОЛОГИЯ

На территории выделяются три морфогенетических типа рельефа, отражающих разную интенсивность неотектонических движений: равнинный денудационно-аккумулятивный, низкогорный эрозионно-денудационный и среднегорный денудационно-эрэзионный.

### Равнинный денудационно-аккумулятивный рельеф

Равнинный денудационно-аккумулятивный рельеф развит на субстрате кайнозойских отложений Зейско-Уссойской депрессии. Ширина равнины с востока на запад изменяется от 20 до 70 км. Абсолютные отметки в ее пределах варьируют от 400 до 580 м, плавно понижаясь к долине р.Арги. В равнинной местности преобладают плоские аккумулятивные и пологонаклонные эрозионно-денудационные поверхности.

Наиболее распространена раннечетвертичная **аккумулятивная** рельефная поверхность широких плоских, иногда слегка всхолмленных **воловьеделье**, сложенных отложениями аргинской свиты. На западе территории она слабо прогнута к долине р.Арги до отметок 425–440 м, а в пределах восточной суженной части равнины очень полого (до 1°) наклонена к северу. Эта поверхность характеризуется интенсивной заболоченностью и развитием термокарстовых озер и бугров пучения. Более молодой ярус рельефа представлен ранне-среднечетвертичными **эрозионно-денудациими** склонами речных долин, а также холмами (2–5°).

Низкогорный эрозионно-денудационный рельеф развит в северном обращении депрессии на субстрате кристаллических образований. Граница его с денудационно-аккумулятивным рельефом морфологически нерезкая, выраженная постепенным возрастанием абсолютных высот, степеней расчлененности и эродированности местности. В виде ответвления шириной 20 км этот тип рельефа прослеживается на восток, вдоль р.Арги. Абсолютные отметки в его пределах варьируют от 400 до 678 м. Поверхность неровная, наиболее пониженная (до 440–460 м) на левобережье р.Улы. Волоразделы плоские, широкие, с единичными возвышениями останцового типа. Они представляют собой в основном денудационные поверхности выравнивания с отдельными ракушками покрова верхнемиоценовых и плиоцен-нижнечетвертичных от-

тических формами рельефа, развитыми по краям депрессии на отложениях темминской свиты. Границы склонов с площадками водоразделов смылированы либо, в местах резкого изменения механических свойств отложений, выражены уступом. Относительные превышения склонов, отражающие глубину постплiocенового эрозионного вреза, достигают 40–50 м. Они расщеплены мелкими ложбинами и наименее заболочены.

Нижний ярус равнинного рельефа образован **аккумулятивно-расчленительной** рельефной формой и поймами речных долин. Они распространены вдоль рек Арги, Улы и их крупных притоков. Среднечетвертичная (вторая надпойменная) терраса имеет высоту 10–15 м и ширину до 1 км. Уступ и тыловой шов ее смылированы. Позднечетвертичная (первая надпойменная) терраса в низовьях р.Курнал и вдоль р.Арги достигает ширины 4–6 км. Высота ее 3–7 м. Она сильно заболочена, покрыта старичьими озерами, изобилует буграми-пучениями. Пойма наиболее четко выражена вдоль р.Арги, где ширина ее до 2 км.

Для гидросети в пределах равнины, особенно в ее расширенной части, характерны черты дряхлости: меандрирование русел, обилие старых и термокарстовых озер в поймах. Рисунок гидросети вдоль р.Арги существенно многообразный, а на юге, близких хр.Джалды – дендритовидный. Дугобразность гидросети связывается с унаследованностью ею концентрической системы расколов фундамента депрессии.

### Низкогорный эрозионно-денудационный рельеф

Низкогорный эрозионно-денудационный рельеф развит в северном обращении депрессии на субстрате кристаллических образований. Граница его с денудационно-аккумулятивным рельефом морфологически нерезкая, выраженная постепенным возрастанием абсолютных высот, степеней расчлененности и эродированности местности. В виде ответвления шириной 20 км этот тип рельефа прослеживается на восток, вдоль р.Арги. Абсолютные отметки в его пределах варьируют от 400 до 678 м. Поверхность неровная, наиболее пониженная (до 440–460 м) на левобережье р.Улы. Волоразделы плоские, широкие, с единичными возвышениями останцового типа. Они представляют собой в основном денудационные поверхности выравнивания с отдельными ракушками покрова верхнемиоценовых и плиоцен-нижнечетвертичных от-

ложений. Эрозионно-денудационные поверхности склонов имеют пренебрежимо до 150–200 м и наклоны 5–15°. На них широко проявлены солифлокционные процессы. Гидросеть более врезанная, чем на равнинах. В долинах рек Зеи и Арги развиты три надпойменные террасы: третья цокольная высотой 15–20 м (Q<sub>II</sub>), вторая цокольная – 7–12 м и первая аккумулятивная – 3–6 м (Q<sub>III</sub>). Ширина террас обычно не более 1 км. Пойма, исключая долину р.Зеи и отдельные подтруженные участки долины р.Арги, выражена слабо. Крутые водотоки часто текут во врезанных меандрах. Рисунок гидросети разнонаправленный, приспособленный к системе разрывов в кристаллических породах.

### Среднегорный денудационно-эрэзионный рельеф

Среднегорный денудационно-эрэзионный рельеф присущ отрогам хр.Джугдыр и северной части хр.Джанды. Границы этого типа рельефа в основном резкие, в виде уступов, свидетельствующих о блоковом характере поднятий.

Отроги хр.Джугдыр образуют два возвышения, разделенных пониженной придолинной частью бассейна р.Арги. Абсолютные высоты в пределах северного отрога колеблются от 500 до 1206 м, а южного – от 450 до 835 м. Их неровная поверхность в целом понижается к югу. Водоразделы узкие, со скальными останцами и редкими плоскадками плоской денудационной поверхности. Денудационно-эрэзионные склоны ступенчатые, яруговые, высотой 300–700 м и крутизной 20–30°. Линейный тектонический уступ особенно четок вдоль южной границы северного отрога. Крутизна его достигает 35°, а высота 250 м. Склоны покрыты глыбовыми делювиально-коллювиальными осыпями. Речные долины врезанные, узкие, переходящие к подножью отрогов в ящиковидные с выровненными заболоченными днишами. Ориентировка гидросети поперечная к простиранию отрогов.

Северная часть хр.Джанды резко поднята над равниной от отметки 600 м до 1370 м. На субстрате нижнемезозойских отложений рельеф имеет наиболее расщепленную денудационно-эрэзионную поверхность с острыми скальными гребнями и осыпями склонами крутизной до 30–40° и высотой до 500–600 м. Ближе к подножью хребта, на протерозойских метаморфических сланцах, рельеф понижен и несколько выпложен. Превышения составляют до 250 м, а крутизна склонов до 25°. Граница между указанными подтипами рельефа выражена тектоническим уступом высотой до 100 м. В подножье

хребта на высотах 600–680 м развита узкая (до 1,5–2 км) увалистая аккумулятивная поверхность делювиально-проливального шлейфа, расширяющаяся в приуставьных частях долин. Она постепенно переходит в поверхность равнины. Долины в пределах хребта имеют V-образную, реже ящиковидную форму и вытянуты к северу.

### История формирования рельефа

Изложенные данные свидетельствуют о дифференцированных существенно восходящих движениях территории в четвертичном периоде. Судя по глубине эрозионного вреза р.Арги, центральная часть Верхне-Зейской впадины поднялась на 40–50 м. Вогнутость раннечетвертичной аккумулятивной поверхности свидетельствует о деформации отложений, что привело к образованию пологой синеклизы, ось которой проходит от левобережья руч.Муякчан к правобережью р.Уды. Обрамление депрессии испытывало сводово-склоновое поднятие. Со сводовыми движениями связывается образование массивного низкогорья, в пределах которого из-под рыхлого чехла выведена позднемиоценовая поверхность выравнивания. Амплитуда ее поднятия 150–200 м. Блоковые движения по разрывам, подчеркнутым тектоническими уступами, обусловили развитие среднегорного рельефа. Неотектонические поднятия сменялись периодами стабилизации рельефа, с которыми связано образование речных террас и ступенчатости горных склонов. Аккумуляция аллювия происходила в основном в равнинной и низкогорной частях местности, которые наиболее благоприятны для формирования россыпных месторождений. Восходящие движения способствовали выводу на поверхность аллювиальных фаций верхнемиоценовых и плиоцен-нижнечетвертичных отложений, которые также могут служить источниками для образования россыпей.

### ПОЛЕЗНЫЕ ИСКОПАЕМЫЕ

Прецищущими исследователями была выявлены слабая золотоносность аллювия в бассейне р.Уды. При стемке масштаба 1:200 000 проведены шлиховое, донное, штучное, литогеохимическое и другие виды опробования, позволившие установить проявление бурого угля, молибдена, глин и ореолы рассеяния цинка, молибдена, ртути, сурьмы, золота и серебра.

## ГОРЮЧЕ ИСКОПАЕМЫЕ

### Т в е р д ы е г о р ю ч и е и с к о п а е м ы

#### Бурый уголь

Залежи бурого угля вскрыты двумя скважинами в северо-западной части Верхне-Зейской впадины. Их вмешают многолетнемерзлые глины, пески и алевриты темнинской свиты (см.рис.2). Проявление П-1-2 (р.Тыгычанак, скв.2) представлено двумя пластами угля мощностью 1 и 2 м, залегающими на глубине 153-166 м. Скважиной З по р.Муякчан (Ш-2-1) на глубинах 92,5-95,0; 108,5-111,5 и 174,5-178,0 м вскрыты три пласта угля мощностью соответственно 2,5, 3,0 и 3,5 м. Кроме них в интервале глубин 88-205 м встречено 7 пропластков мощностью до 0,5 м. В Дуругинском пороге до глубины 196 м установлен единичный пропласток угля мощностью 20 см (скв.4). Эти данные указывают на то, что угленосность, как и мощность, отложений дутканской свиты возрастают к юго-западной части впадины.

По результатам анализов 10 проб угля относятся к 3-6 группам мощности ( $A_C = II, 6-29,7$ ) и имеют высокий выход летучих веществ ( $V^T = 59,0-68,7$ ). Аналитическая влажность ( $W_A$ ) 5,0-9,9, максимальная влажность до 46,5, общая сернистость 0,14-0,33. Содержания углерода ( $C_T$ ) 62,3-66,0, водорода ( $H_T$ ) 5,3-6,9, азота ( $N_T$ ) 1,06-1,23. Твердота горючего 6049-6907. Марка углей Б-2. Содержание герmania в них, по данным спектрального анализа, составляет 0,0001%.

Мощность выявленных пластов и качество угля отвечают примененным требованиям, но разработка их затруднена вследствие большой глубины залегания и сложных геолого-гидрологических условий, обусловленных многолетней мерзлотой.

#### МЕТАЛЛИЧЕСКИЕ ИСКОПАЕМЫЕ

#### Ц в е т н ы е м е т а л л ы

##### Цинк

В результате ломного опробования обнаружены два ореола рассеяния цинка. Ореол в бассейне р.Гамикан (I-2-1) площадью

70 км<sup>2</sup> приурочен к зоне Гамиканского разлома, рассекающего позднеархейские образования и сопровождающегося меловыми дайками среднего состава. Содержание цинка в пробах составляет 0,005-0,007% при фоне 0,001%. В гидрохимических пробах в контуре ореола концентрация цинка достигает 0,03-0,05 мкг/л. Аналогичный по интенсивности ореол (П-3-1) площадью 95 км<sup>2</sup> охватывает междуручье Арги и Еренги. Он расположен в зоне пересечения Аргинского разлома системой разнонаправленных нарушений, сопровождаемых кислыми субвуликаническими интрузиями и окварцеванием пород. Ореолы, по-видимому, связаны с бедной минерализацией цинка в катаклизированных, окварцованных породах.

#### Р е д к и е м е т а л л ы

##### Молибден

Проявление молибдена (П-3-2) выявлено на левобережье р.Арги в деловиальных обломках окварцованных раннемеловых фельзитов, трассирующих в виде даек зону Аргинского разлома. Содержание молибдена в штуковых пробах, по данным спектрального анализа, до 0,05%.

Юго-восточнее этого проявления в той же зоне на вслоразделе рек Арги и Еренги, литогеохимической съемкой масштаба 1:25 000 оконтурен ореол рассеяния молибдена и серебра (П-3-3). Он совмещен с серией сближенных субвуликанических тел фельзитов и гранит-порфиров, прорывающих катаклизированные позднеархейские гранодиориты. Фельзиты и вмещающие породы окваркованы. Площадь ореола 9 км<sup>2</sup>. Наиболее высокие содержания молибдена, составляющие 0,001-0,05%, редко 0,1%, приурочены к его северо-западной части. Сопутствующие элементы: встречающееся постоянно серебро (0,0008-0,0009%) и спорадически - свинец (0,01-0,5%) и цинк (0,01-0,1%). В протолючках гидротермальных обнаружены зерна молибдениита, галенита, сфalerита, золота и в одной пробе самородного серебра. Содержание молибдена в них до 0,007%, свинца до 0,1%, цинка и меди до 0,05%, золота до 0,1 г/т, серебра до 0,0003%, мышьяка (в одной пробе) до 0,7%. Ореол обладает высокой контрастностью и заслуживает дальнейшего изучения.

По результатам ломного опробования, в зоне разлома, разделенного складчатые образования верхнего протерозоя и мезозоя в бассейне р.Нел, выявлен ореол рассеяния молибдена (П-2-2). Содержание этого элемента 0,0001-0,0002%. В пробах встречается

медь в количестве 0,003-0,005%. В пределах ореола в деловии распространены тонкопротяжные метаморфические сланцы и жильный кварц. Рудной минерализации в них не обнаружено. Разобщенные потоки рассеяния мolibдена в той же концептрации протяженностью 1-6 км установлены вдоль рек Арги, Мал. Тюрубуки и ручьев Кынгычак, Амудачи, Колбачи и Еренга. Они совмещены с зонами катаклизма. Вблизи этих зон в шлихах (9 проб) спорадически встречаются единичные знаки молибденита.

### Ртуть

Незамкнутый с юга шлиховой ореол рассеяния киновари (ГУ-2-1) выделен в верхнем течении руч. Мулкан и Муякчан, среди отложений аргинской свиты. Площадь его 43 км<sup>2</sup>. Содержание киновари в пробах возрастает до 10 и более знаков в южной части ореола, что свидетельствует о положении источника сноса за границей площади листа. В виде единичных зерен киноварь встречена в бассейнах рек Арги и Уды.

### Сурьма

Шлиховой ореол рассеяния антимонита (ГУ-3-1) площадью 20 км<sup>2</sup> установлен в верхнем течении руч. Анычаки среди отложений аргинской свиты. Площадь его 43 км<sup>2</sup>. Содержание киновари, находящейся за пределами территории, на склонах хр. Джагды. В среднем течении руч. Анычак в той же геологической обстановке выявлены два потока антимонита длиной до 5 км. Единичные знаки этого минерала встречены в шлихах на правобережье р. Зей.

### Благородные металлы

#### Золото

Золото в количествах 0,01-0,1 г/т обнаружено в 7 штуцерных пробах окварцованных фельзитов и катаклизитов в междууречье Арги и Еренги, в районе ореола рассеяния молибдена и серебра (П-3-3). Оно ассоциирует с пиритом, теленитом, сфalerитом, молибденитом, халькопиритом, реже самородным серебром. Минерализация генетически связывается с ранненемовыми вулканитами. Она расцепивается как прямой признак возможного наличия в окварцованных породах более богатого оруденения.

Золото широко распространено в аллювии, как в районах разработки кристаллических пород архея, так и покрова отложений негена - нижнего плейстоцена. Выделены два шлиховых ореола и ряд потоков рассеяния этого металла.

Площадь ореола рассеяния в верхнем течении р. Бол. Тюрубуки (1-2-2) около 70 км<sup>2</sup>. Его восточная часть совмещена с выходом позднего архея, рассеченным широтным разломом, а западная – с покровом аргинской свиты. Золото (единичные знаки) встречено в 22 шлихах. Ореол рассеяния (П-1-1) оконтурен вдоль р. Тюрубуки и смежной части р. Арги в полосе длиной 21 км, среди отложений аргинской и теминской свит. Золото в его пределах установлено в 54 шлиховых пробах. Содержание его повышено до 10-20 знаков в аллювии р. Арги.

Большинство потоков рассеяния золота, выявленных среди выходов архейских образований, локализовано в полосе вдоль р. Арги. Длина их в низовьях руч. Колбачи, Болотякит и других притоков этой реки достигает 2-3 км. Реже золото встречается в бассейне р. Гамкан и на левобережье руч. Таксан и р. Уды. Золотоносность аллювия приурочена к зонам крупных долгоживущих разломов – Аргинского и, в меньшей мере, Гамиканского и Удыклинского, что свидетельствует о потенциальной рудоносности этих зон.

В поле развития рыхлых отложений золото тяготеет к выходам песчано-гравийно-галечниковых (речных) фаций аргинской, реже теминской свит. Наиболее протяженные потоки (3-7 км) установлены в нижнем течении р. Курнал и руч. Тыдынанак, Муякчан, Товитяк, Совогнанде, Еренги. Реже золото встречается в южной части депрессии – реки Курнал, Мал. Курнал, Нел, ручьи Анычак, Гасига. Содержание золота в шлихах не превышает 1-10 знаков. Зерна его различны по форме и степени окатанности, размер их до 0,5 мм. Ввиду того, что отрабатывалась приповерхностная часть рыхлых отложений, предполагается увеличение концентрации золота в более глубоких приплотиковых срезах. Выявленные ореолы и потоки рассеяния золота расцениваются как признаки россыпной золотоносности современного и древнего аллювия.

## НЕМЕТАЛЛИЧЕСКИЕ ИСКОПАЕМЫЕ

### Керамическое сырье

#### Керамические глины

На правом склоне долины руч. Турина профилами картировочными скважин на площади 4 км<sup>2</sup> оконтурены залежи трех пластов керамических глин.

Верхний пласт (ГУ-4-2) относится к отложениям артинской свиты и слагает водораздел руч. Турина и р. Уды. Он представлен бурьими гидрослюдистыми глинами, которые местами перекрыты песчаными и суглинками с талькой. Пласт вскрыт 8 скважинами на площа-ди 1,6х0,4 км<sup>2</sup>. Мощность его 1,9-5,7 м. Глубина залегания 0-0,7 м, в одной скважине 4 м. Химический состав глин в % (проба 51): SiO<sub>2</sub> - 71,3, TiO<sub>2</sub> - 0,8, Al<sub>2</sub>O<sub>3</sub> - 13,3, Fe<sub>2</sub>O<sub>3</sub> - 3,9, MgO - 0,8, CaO - 0,8, K<sub>2</sub>O - 1,3, Na<sub>2</sub>O - 1,8. Содержание частиц менее 0,001 мм - 26,6%, более 0,05 - 18,36%. Число пластичности 13,7. Температура спекания 1250°С. Согласно ГОСТ 9169-59 глины легкоплавкие, кислые, умеренно пластичные. Цвет черепка оранжево-красный.

Средний пласт (ГУ-4-1) образует выход вдоль правого борта долины руч. Турина. Он расположен в кровле отложений теминской свиты и отделен от верхнего горизонта глин пачкой песков, галечников и алевритов мощностью 10-12 м. Пласт вскрыт 14 скважинами на площади 1,5х1,1 км. Мощность его около 20 м. Глубина вскрытия 0-18 м. Глины содержат невыдержаные пропластки и линзы суглинков и песков с гравием мощностью до 1-2 м. Они светло-серые до белых. Их химический состав в % (проба 52-2): SiO<sub>2</sub> - 64,2, TiO<sub>2</sub> 0,9, Al<sub>2</sub>O<sub>3</sub> - 17,7, Fe<sub>2</sub>O<sub>3</sub> - 4,4, MgO - 1,1, CaO - 1,3, K<sub>2</sub>O - 3,0, Na<sub>2</sub>O - 2,5. Содержание частиц менее 0,001 мм составляет 20,04%, крупнее 0,05 мм - 12,56%. Число пластичности 7,84. Температура спекания 1250°. Глины легкоплавкие, умеренно пластичные, полукислые. Цвет черепка оранжево-красный.

Нижний пласт (ГУ-4-3) выходит в подножье долины руч. Турина, относится к теминской свите. Он вскрыт 7 скважинами по профилю шириной 600 м поперек борта долины. Мощность его более 15 м. Глубина залегания кровли 0-14 м. Выше вскрыты пески и алевриты с гравием. Глины светло-серые с незначительной примесью песка и алевритов. Их химический состав в % (проба 64-1): SiO<sub>2</sub> - 58,3, TiO<sub>2</sub> - 0,89, Al<sub>2</sub>O<sub>3</sub> - 19,8, Fe<sub>2</sub>O<sub>3</sub> - 5,3, MgO - 2,0,

CaO - 1,2, K<sub>2</sub>O - 3,6, Na<sub>2</sub>O - 2,5. Содержание частиц менее 0,001 мм составляет 16,6%, крупнее 0,05 мм - 3,84%. Доминирует фракция 0,005-0,001 мм. Число пластичности 6,45. Температура спекания 1250°. Глины легкоплавкие, полукислые, умеренно пластичные до малопластичных. Цвет черепка оранжево-красный.

Глины рассмотренных проявлений пригодны для производства стенной и кровельной керамики (кирпич, блоки, черепица) и дренажных труб. В бассейне руч. Турина подобные глины встречены на площади около 10 км<sup>2</sup>, что свидетельствует о возможности выявления здесь их промышленного месторождения.

#### СТРОИТЕЛЬНЫЕ МАТЕРИАЛЫ

Специализированных исследований строительных материалов не производилось. По литолого-петрографическим особенностям и характеру распространения практически интересными представляются следующие образования.

Граниты, гранодиориты и диориты, слагающие крупные массивы на востоке и севере плато, могут служить источником щебня для покрытия дорог и наполнения бетона. Слабо трещиноватые порфироидные граниты Куртагирского массива имеют повышенную декоративность и пригодны для изготовления облицовочных плит. Четвертичные аллювиальные отложения в долинах рек Зеи, Арги, Уды и их крупных притоков представляют собой залежи песчано-гравийных смесей мощностью до 9,6 м. Аргинская и теминская свиты на 30-60% сложены пригодными для строительства щукими песками, обра-зующими в бассейнах р. Арги и руч. Таксан выходы мощностью до 8-18 м. Для получения щуких смесей и изготовления кирпича, пог-видимому, могут представлять интерес гидрослюдистые глины верхнего горизонта артинской свиты, распространенные на севере Верхне-Зейской впадины. Мощность их пластов, залегающих на поверхности, на правобережье р. Арги достигает 12 м.

#### ПОДЗЕМНЫЕ ВОДЫ

По геолого-гидрогеологическим особенностям различные части территории относятся к Верхне-Зейскому и Удскому артезианским бассейнам и к Брянтинскому, Становому и Тукуринга-Джадинско-му криогенным гидрогеологическим массивам /5/.

## Верхне-Зейский и Удский артезианские бассейны

Данные бассейны пространственно отвечают одноименным впадинам. Водоносные горизонты в них образуют рыхлые аллювиальные, озерно-аллювиальные, дельвиальные и проливиальные отложения верхнего миоцена, глисена и четвертичной системы. В подстилающих их отложениях дуткианской и боконской свиты вода обнаружена лишь в твердой фазе. Мощность многолетней мерзлоты, по данным бурения, более 300 м. В мерзлотно-гидрогеологическом разрезе установлены два этажа: верхний (надмерзлотный) и средний (многолетнемерзлый).

**В е р х н и й э т а ж** ограничен верхней кромкой многолетнемерзлых пород и имеет мощность 1-18 м. В его пределах разбиты надмерзлотные воды деятельного слоя и нескоэзных многолетних таликов. Питание их осуществляется в основном за счет поверхностных и дождевых вод. По условиям фильтрации они являются поровыми. Водоупором служат многолетнемерзлые грунты.

Воды деятельного слоя развиты на пологих склонах, водоразделах и террасах, сложенных песчано-галечниками отложениями. Глубина их залегания до 2-3 м. Разгрузка вод происходит в подножьях долин в виде редких сезонных нисходящих источников лебитом до 0,1 л/с. Воды пресные, гидрокарбонатные, кальциевые и натриево-кальциевые, иногда с повышенным содержанием ионов магния (до 15 мг-экв/л). Общая минерализация 30-40 мг/л, рН = 4,8-6,2.

Воды несвязанных многолетних таликов встречаются на глубинах до 15-18 м. Они установлены в галечниковых, валунно-галечниковых и гравийных отложениях неогеновой и четвертичной систем. Талики относятся к подрусловому, подозерному и дождевально-radiационному подтипу.

Наиболее распространены воды подрусловых таликов. Они приурочены к днищам долин р.Арги и других крупных водотоков (реки Курнал, Нел, Таксан), где вскрыты картировочными скважинами. Коэффициент фильтрации водоизмещающих галечников с песком колеблется от 0,9 до 43,2 м/сут. Согласно дешево-водоносным признакам (заросли благоприятной растительности) талики почти непрерывной полосой шириной до 500-800 м прослеживаются вдоль меандрирующих русел рек. С выходами их вод на поверхность в зимнее время связаны многочисленные русловые наледи размером до 300 м. Вдоль крутих рек (Арги, Уда, Курнал) подрусловые воды не промерзают.

Воды подозерных таликов встречаются под старичными озерами в отложениях поймы и первой надпойменной террасы и реже под терраскарстовыми озерами в аргинской свите. Размер таликов в плане близок к площади озер. Мощность их составляет первые метры.

Воды имеют застойный режим и небольшие статические запасы.

Воды дождевально-радиационных таликов распространены среди песчано-галечниковых и песчано-гравийных отложений аргинской и темиринской свит, преимущественно на склонах южной экспозиции.

Глубина их залегания до 10 м. Родники их сезонные, рассеянные, исходящие, дебитом 0,2-3,0 л/с. Зимой на их месте развиты бурые пучения и мелкие наледи. Воды пресные, гидрокарбонатные, натриево-кальциевые, с повышенным содержанием магния и хлор-иона (до 35 мг-экв/л). Общая минерализация 20-50 мг/л, рН = 5,8-6,1. Из надмерзлотных вод для круглогодичного водоснабжения пригодны лишь воды подрусловых таликов.

**С р е д н и й э т а ж** представлен толщей многолетнемерзлых отложений и изучен недостаточно. Скважинами в его пределах вскрыты спорадические линзы льда мощностью до 1 м. Среди открытых вод подземные линзы льда мощностью до 1 м.

Признаки широкого развития межмерзлотных вод установлены в южной части депрессии, в полосе шириной 8 км, примыкающей к хр.Джагды. Здесь в пределах мощного (более 100 м) валунно-галечникового горизонта аргинской свиты, перекрытого на юге дельвиально-проливиальным шлейфом, выявлены многочисленные напорные источники подземных вод. Они приурочены к пониженным частям долин рек и ручьев: Бол. и Мал.Курнал, Нел, Мужкан, Аньянжа, Амантийская, Гаента. Дебиты родников достигают 5-10 л/с. Многие изливаются в виде гривонов. Химический состав вод гидрокарбонатный натриевый, реже натриево-кальциевый. Общая минерализация 2,0-5,0 мг/л. Карбонатная жесткость - 0,1-0,25 мг-экв/л, рН = 5,4-6,7. Зимой вдоль указанных рек образуются многочисленные наледи (до 5 000 м<sup>2</sup>) и распространены незамерзющие полыни. Это свидетельствует о связи вод со сквозными таликами, возможно достигающими уровня подмерзлотных вод. Накопление подземных вод в валунно-галечниковом горизонте способствуют его значительная мощность, разгрузка в него вод со склонов хр.Джагды и наличие на соединении хребта и депрессии крутиной зоны разломов. Указаный горизонт наиболее перспективен для выявления значительных запасов подземных вод.

Брянтинский и Становой гидрогеологические  
массивы

Тукурингра-Джагдинский гидрогеологический  
массив

К Брянтинскому массиву относится площадь слабо расщепленного пeneplенизированного низкогорья северного обрамления депрессии, а к Становому — интенсивно расщепленное низкогорье отрогов хр. Джугдыр. По условиям формирования подземных вод рассматриваемые части массивов отличаются несущественно. Водоемающими являются трещиноватые кристаллические образования архей, раннего протерозоя и раннего мела и перекрывающий их маломощный чехол рыхлых аллювиальных и элювиально-делювиальных отложений. Мощность чехла в Становом массиве до 3-5 м, а в Брянтинском массиве за счет редких остатков отложений неогена — до 20 м.

В пределах надмерзлотного этажа развиты воды лентельного слоя и подрусловых таликов. Они проникают в рыхлых аллювиальных и элювиально-делювиальных отложениях и реже в трещиноватых кристаллических породах. Мощность лентельного слоя обычно не превышает 3 м. Развитые в нем воды образуют редкие сезонные исходящие источники дебитом до 0,1 л/с. Подрусловые талики наиболее обширны в долине р. Зеи, где, судя по развитию выработанных растений, ширина их достигает 500-800 м.

Среди толщи многолетнемерзлых кристаллических пород спорадически встречаются трещинные межмерзлотные воды, приуроченные к зонам повышенной трещиноватости вдоль разломов. Наибольшее количество их источников сосредоточено в подножных тектонических уступах, ограничивающих отроги хр. Джагды (бассейны руч. Колбачи, Бодоликит, Саливис и др.). Они как исходящие, так и напорные, сосредоточенные и рассредоточенные, дебитом до 2-5 л/с. Зимой вдоль этих зон распространены наледи площадью до 1000 м<sup>2</sup>. Воды пресные, гидрокарбонатные кальциево-магниевые с общей минерализацией 0,12 г/л, рН = 7,2, общая жесткость 1,9 мг-экв/л, содержание свободной углекислоты 4,4 мг/л, кремнекислоты — 12 мг/л.

Для практических целей в пределах рассматриваемых массивов могут использоваться воды подрусловых таликов и трещинные межмерзлотные воды.

Данный массив представлен интенсивно расщепленной среднегорной южной частью хр. Джагды, которая сложена метаморфическими сланцами, метапесчаниками и метавулканитами верхнего протерозоя и мезозоя. Метаморфические породы обладают повышенной трещиноватостью как вследствие сланцеватости, так и наличия густой системы разрывных нарушений. В подножье склонов и в днищах долин развит водогонный горизонт делювиально-коллювиальных и аллювиально-делювиальных отложений мощностью до 5-7 м. Геологогидрогеологические особенности хребта способствуют широкому развитию подземных вод. Они представлены трещинно-жильными, трещинно-поровыми и поровыми надмерзлотными и трещинными межмерзлотными водами.

Надмерзлотные воды в верхних частях склонов локализуются в системах тонкой трещиноватости пород и образуют исходящие источники в вершинах распадков на абсолютных высотах до 900 м. В нижних частях склонов водовмещающими являются делювиальные осадки. Разгрузка вод в подножье склонов обуславливает широкое распространение рассеянных, реже сосредоточенных исходящих источников дебитом до 0,4 л/с. В днищах долин, судя по многочисленным бутрам пущения, гидролакколитам и периодическому исчезновению поверхности вод, развиты талики. Воды источников пресные, гидрокарбонатные, кальциево-натровые, иногда с анионами магния и железа. Минерализация в основном 0,02-0,05 г/л, редко до 0,2 г/л, рН = 5,4-6,9.

Вдоль зон крупных широтных разломов, по-видимому, распространены межмерзлотные воды, однако их достоверных выходов на поверхность не установлено.

## ОЦЕНКА ПЕРСПЕКТИВ РАЙОНА

Территория благоприятна для выявления месторождений бурого угля, золота, молибдена, керамического сырья, строительных материалов и подземных вод. Эндогенная минерализация сосредоточена среди образований Становой и Монголо-Охотской складчатых областей, а осадочные полезные ископаемые в основном приурочены к чехлу Верхне-Зейской и Удской впадин (рис. 4).

На площади, относящейся к Становой области — т.и., профилирующими полезными ископаемыми являются золото и

молибден. Их проявления ассоциируют с полиметаллами, серебром, реже мышьяком и, по-видимому, относятся к кварцевой и кварц-сульфидной гидротермальной рудной формацией. Пространственно и генетически минерализация связана с раннемеловыми кислыми субвулканическими интрузиями и дайками.

Основной рудоконтролирующей структурой является зона Аргинского разлома шириной до 10–12 км и протяженностью более 50 км. В ней выявлен контрастный ореол рассеяния молибдена и серебра, сладконтрастный ореол рассеяния цинка, рудопроявление молибдена, точки минерализации молибдена, золота, свинца, цинка, серебра, мышьяка и многочисленные потоки рассеяния золота. В отдельных шлихах, встречаются молибденит и халькопирит. Субвуликанические интрузии и связанные с ними кварцевые гидротермалы сконцентрированы в узлах пересечения зоны Аргинского разлома с системой радиальных и концентрических разрывов, относящихся к Верхне-Аргинской колыцевой дислокационной структуре. Наиболее крупный узел расположен в Междуречье Арги и Еренги, где на площади около 70 км<sup>2</sup> широко проявлены катаклиз и окварцевание и сосредоточено большинство указанных выше прямых поисковых признаков полезных ископаемых. Наибольший интерес здесь представляет литохимический ореол рассеяния молибдена и серебра, на котором рекомендуется постановка детальных поисковых работ масштаба 1:10 000. Площадь узла заслуживает опробования в масштабе 1:25 000 с применением проходки канав, литогеохимической съемки, штучного и бороздового опробования. Поисковые работы в зоне Аргинского разлома целесообразно проводить в комплексе с геологической съемкой масштаба 1:50 000 (см. рис. 4). Следует дополнительно опробовать палеовулканические постройки на правобережье р. Арги, возле которых в шлихах присутствует золото.

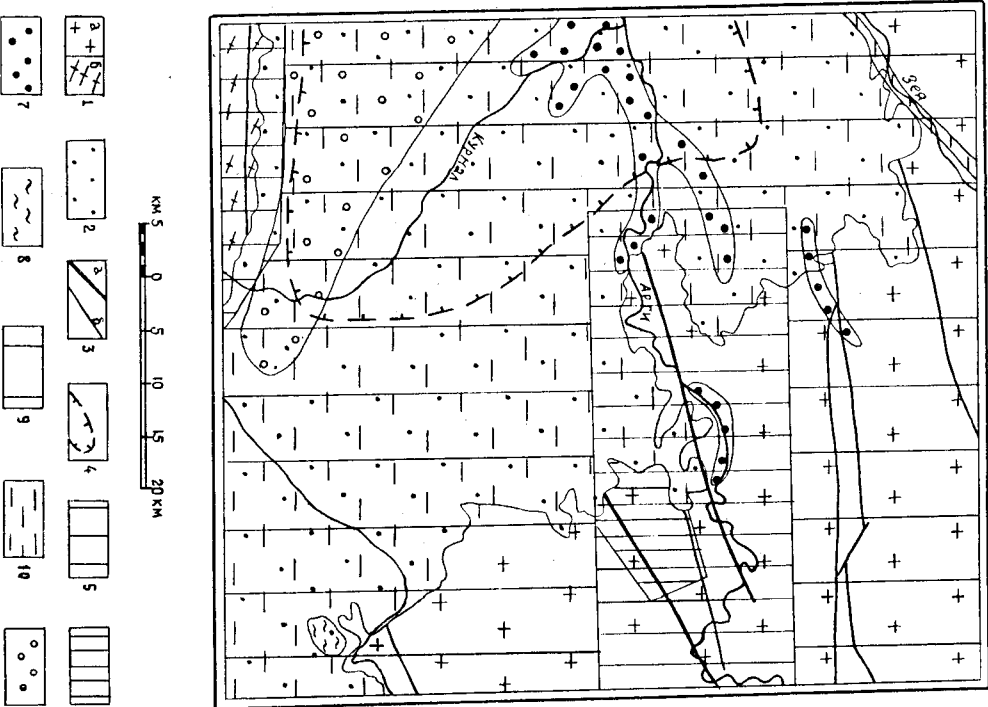


Рис. 4. Прогнозная схема

1 – метаморфический фундамент Становой (а) и Монголо-Ойотской (б) складчатых областей; 2 – чехол депрессии; 3 – рудо-контролирующие разломы: а – главные, б – второстепенные; 4 – предполагаемый контур угленосного бассейна; 5–8 – площасти перспективные, рекомендуемые для постановки детальных работ; 5 – геодезических масштаба 1:50 000 и поисковых масштаба 1:10 000 и 1:25 000, 6 – на молибден и золото, 7 – на россыпное золото, 8 – на керамические глины; 9 – плаяды, недостаточно изученные, с некоторыми перспективами, рекомендуемые для поисков; 10 – плодовые, потенциально перспективные для поисков; 11 – строительных песков, глин, песчано-гравийных смесей, II – подземных вод.

Потенциально рудоносными являются зоны Гамиканского и Удахинского разломов и широтного разлома между верховьями р. Бол. Торбуки и руч. Кагди-Гагинди. Вдоль них спорадически проявлено окварцевание, в шлихах встречаются золото, молибденит, халькопирит, киноварь. В бассейне р. Гамикан повышен геохимический фон цинка, а в бассейне р. Бол. Торбуки установлен шлиховой ореол рассеяния золота. Вместе с тем, вдоль этих зон ослаблен раннемеловой магматизм, поисковые признаки имеют спорадический характер. Полученных данных недостаточно для оценки металлоносности указанных структур. Дальнейшее их изучение целесообразно провести в комплексе с аэрофотогеологическим картированием масштаба 1:50 000 путем заверки и опробования отдельных участков с поисковыми признаками.

Потоки и ореолы рассеяния золота, выявленные среди образований Становой области, свидетельствуют о возможном наличии россыпных месторождений. Для их формирования благоприятны участки низкогорного эрозионно-денудационного рельефа, прилегающие к впадине. С учетом этого признака, для поисков россыпей рекомендуется золотосодержащие отложения в долине верхнего течения р. Бол. Торбуки и в расширенных аккумулятивных частях долины р. Арги.

Песчано-галечниковые отложения в долинах рек Зеи и Арги могут использоваться как залежи песчано-гравийных смесей.

В рассматриваемой части Монголо-Охотского бассейна с тектонической главной рудоконтролирующей структурой является зона Ланского глубинного разлома /17/. Предполагается, что его основной сместитель скрыт под чехлом раковых отложений. Вдоль крупных его ответвлений, пересекающих складчатые образования верхнего протерозоя и мезозоя, проявлены рассланцевование, мицелитизация, катаклаз и окварцевание, благоприятные для локализации гидротермального оруднения. К зоне приурочены слабоконтрастный литохимический ореол рассеяния молибдена и шлиховые ореолы рассеяния киновари и антимонита. Юго-восточнее в ней установлены перспективные будущее проявления киловари. Учитывая эти данные, зона включена в площадь, рекомендуемую для геологической съемки масштаба 1:50 000.

Верхне-Зеиская и Удская впадины благоприятны для нахождения месторождений угля, россыпного золота, керамического сырья, строительных материалов и подземных вод.

Угленосными являются лимнические отложения Дутканской синты в Верхне-Зеиской впадине. Суммарная мощность вскрытых про мышленно интересных (1 м и более) угольных пластов составляет 3-9 м. Она повышается к центру впадины. В Дугутинском пороге уголь практически отсутствует. Это позволяет ориентировочно оценить площадь бассейна на территории листа в 700-900 км<sup>2</sup> (см.рис.4). При выдержанной средней мощности пластов геологические запасы угля в этом контуре могут достигать нескольких миллиардов тонн. Пласти вскрыты на глубинах 92-178 м, выходов их на поверхность не установлено. Большая глубина их залегания обуславливает нерентабельность разработки угля в ближайшей перспективе.

Для поисков россыпных месторождений золота рекомендуются расположенные на северо-восточном краю Верхне-Зеиской впадины

участки долин рек Арги, Торбуки и низовьев рек Курнал и Муячан. Факторами, благоприятствующими накоплению в них россыпей, являются: сопряженность этой части депрессии с потенциально рудоносной зоной Аргинского разлома; наличие в алювии устойчивых потоков золота; выходы в бортах долин золотосодержащих галечников аргинской свиты, что способствует вторичному обогащению россыпей; оптимальные геоморфологические условия для накопления аллювия. Для отработки рекомендуются как четвертичные, так и неогеновые аллювиальные отложения. Последние могут содержать погребенные россыпи.

Для выявления месторождения керамических глин рекомендуется на площадь около 10 км<sup>2</sup> на правобережье руч. Туринга (проявления ГУ-3-1,2,3). Суммарная мощность вскрытых здесь трех пластов глин достигает 40 м. Противозные запасы их для ступенчатой отработки карьером, при средней рабочей мощности пласта около 10 м, оцениваются порядка 200 млн.т.

Практически вся изученная территория Верхне-Зеиской и Удской впадин перспективна для выявления крупных месторождений строительных материалов. Площади выходов существенно галечниковых отложений (речной тип) составляют около 500 км<sup>2</sup>, глинистоглиноземных (озерно-речной тип) около 1100 км<sup>2</sup> и существенно глинистых (озерно-болотный тип) около 350 км<sup>2</sup>. Мощности однородных пластов галечников, песков и глин, выходящих на поверхность, достигают 10 м и более.

Для поисков месторождений полезных вод рекомендуется площадь распространения валуно-галечникового горизонта аргинской свиты, расположенного в южной, наиболее погруженной части Верхне-Зеиского артезианского бассейна. Выявление в нем крупных источников меллерозитных вод возможно в долинах рек Бол. и Мал. Курнал, Нел, где формируются мощные наледи.

Встречающиеся среди озерно-болотных отложений аргинской свиты торфяники не представляют практического интереса ввиду малой мощности (до 1 м). Нефте- и газопроявление во впадинах не обнаружено. Заполнение их нижних частей континентальной молассой и вулканитами, видимо, не благоприятствовало образованию нефти.

Для дальнейшего уточнения геологического строения и первоначальных специализированных поисками рекомендуется проведение аэрофотогеологического картирования.

Удаленность рекомендуемых объектов от трассы БАМ - 80-150 км.

## Л И Т Е Р А Т У РА

### О ПУБЛИКОВАННАЯ

1. Б а р в е н к о В.А., С о р о к и н А.П. Кайнозой-  
ские отложения Верхне-Зейской впадины. — В сб.: Стратиграфия  
кайнозойских отложений Дальнего Востока, Владивосток, 1977.
2. Б о г а т и к о в О.Д., Г о н ъ ш а к о в а В.И.  
и др. Классификация и номенклатура магматических горных по-  
род, Недра, 1981.
3. Б ы к о в Г.Е. К стратиграфии осадочных отложений  
верхней части бассейна р.Зеи в связи с их угленосностью.  
Изв. АН СССР, сер.геол., 1936, № 2-3.
4. Г е о х р о н о л о г и я Докембрия Сибирской платфор-  
мы и ее складчатого обрамления. Наука, 1968.
5. Г и д р о г е о л о г и я ССР, т.ХIII, Хабаровский  
край и Амурская область. Недра, 1971.
6. Г л у х о в с к и й М.З., С и н ц е р о в а Е.А.  
Метаморфические образования зоны сочленения Алданского щита  
и Джульджуро-Становой области (к проблеме станового комплекса).  
Докембринская комплексная зона БАМ, Владивосток, 1979.
7. Г о д з е в и ч Б.Л. Тектоника Становой складчатой  
области. "Тектоника востока Советской Азии". Владивосток, 1976.
8. К а р с а к о в Л.П. Геологическая карта СССР масшта-  
ба 1:200 000, серия Становая, лист №-52-XI, Недра, 1974.
9. К а р с а к о в Л.П. Докембрий восточной части Стано-  
вого хребта. Геология докембра и тектоника Дальнего Востока.  
Владивосток, 1975.
10. К а р с а к о в Л.П. Глубинные гранулиты, Наука, 1978.
11. К и р и л л о в а Г.Л., Т у р б и н М.Т. Формации  
и тектоника Джалынского звена Монголо-Охотской складчатой об-  
ласти. Наука, 1979.
12. К р а с н и й Л.И., К и р и к о в Д.А. и др.  
Государственная геологическая карта СССР масштаба 1:1 000 000,  
лист N-52 (Зея). Объяснительная записка. Госгеотехиздат, 1959.
13. К р а с н и й Л.И. Основные вопросы тектоники Хабаров-  
ского края и Амурской области. Тр.ВСЕГЕИ, новая серия, вып.37,  
1960.
14. Л и ш н е в с к и й Э.Н., З е м л я н о в В.Н.  
Глубинное строение Верхнезейского и Удского прогибов по геоло-  
геофизическим данным. Геология и геофизика, № 2, 1972.

### Ф о н д о в а я

15. М о п к и н В.Н., Ш п а к Н.С. Раннедокембрийские  
метаморфические образования восточной части хр.Станового и юж-  
ной части хр.Джульджура. Докембрин восточных районов СССР. Тр.  
ВСЕГЕИ, новая серия, т.122, 1967.
16. Н а г и б и н а М.С. Стратиграфия и формации Монголо-  
Охотского пояса, ВНИИГИ, 1969.
17. О л ь к о в В.В. Геологическая карта СССР масштаба  
1:200 000, серия Амуро-Зеинская, лист №-52-ХIII, 1975.
18. С а в и н а Т.В. Карта аномального магнитного поля  
СССР (графики ДГ), масштаб 1:200 000, серия Становая, 1965.
19. С е й И.И. Материалы по стратиграфии рыхлых отложе-  
ний Верхне-Зейской депрессии. Информационный сборник ВСЕГЕИ,  
№ 25, 1960.
20. С и г о в В.Ф. Геологическая карта СССР масштаба  
1:200 000, серия Становая, лист №-52-XIII, 1975.
21. С у д о в и к о в Н.Г. и др. Геология и петрология  
южного обрамления Алданского щита. Наука, 1965.

*x/ Материалы хранятся в фонде ПГО "Дальгегеология".*

Приложение

СИСТОМ ПРОЯВЛЕНИЙ ПОЛЕЗНЫХ ИСКОПАЕМЫХ, ПОКАЗАННЫХ  
НА ЛИСТЕ №-52-ХУП ГЕОЛОГИЧЕСКОЙ КАРТЫ И КАРТЫ  
ПОЛЕЗНЫХ ИСКОПАЕМЫХ МАСШТАБА 1:200 000

1	2	3	4	5
Р е л к и е м е т а л л и				
Индекс клетки на кар- те	№ на карте	Символ на лите- рату- рном номе- ре спис- ка	Примечание	
I	2	3	4	5
ГОРИЧЕ ИСКОПАЕМЫЕ				
Т в е р д ы е п о р о ч и е и с к о п а е м ы е				
Б у р ы й у г о л ь				
II-1	2	Тыгдыляннак	23	Молибден Левобережье р.Арги 23
III-2	1	Мякчан	23	Обломки в деловыми Борораздел рек Арги и Бронти Бассейн р.Нэл 23
Р тутъ				
IV-2	1	В коренном залегании на глубинах 153-166 м	23	Литотехни- ческий ореол То же
IV-3	1	То же, на глубинах 92,5-178,0 м	23	Шлиховой ореол То же
Б л а г о р о д н ы е м е т а л л ы				
Золото				
I-2	2	Верхнее течение р.Бол.Торбуки	23	Шлиховой ореол То же
II-1	1	Реки Торбуки, Арги	23	
Н Е М Е Т АЛЛ И ЧЕ СКИЕ ИСКОПАЕМЫЕ				
К е р а м и ч е с к ы е с ы р ы е				
Керамические глины				
IV-4	1	Правый борт долины руч.Туринги	23	В коренном залегании на глубине 0-18 м
I-3	1	Междуречье Арги и Бренти	23	

I	2	3	4	5
ГУ-4	2	Водораздел руч.Туринги и р.Уды	23	В коренном залегании на глубине 0-4 м
ГУ-4	3	Правый берег руч.Туринги	23	То же на глубине 0-14 м

В брошюре прогумировано 87 стр.

Редактор Г.Н.Логашова  
Технический редактор С.Г.Воронина  
Корректор Т.А.Ушакова

Сдано в печать 22.05.85.      Полисано к печати 11.05.87.  
Тираж 148 экз.      Формат 60x90/16      Лет.л.5,5      Заказ 446 с

Центральное специализированное  
производственное художественное предприятие  
объединения "Совгизоффонд"